

**Differenzierung von reaktiven Sauerstoffspezies (ROS) und  
Untersuchung der Spezifität des ROS-Fluoreszenzindikators H<sub>2</sub>R  
bei PC12-Zellen der Ratte unter Hypoxie**

Inauguraldissertation  
zur Erlangung des Grades eines  
Doktors der Zahnmedizin des Fachbereichs Medizin  
der Justus-Liebig-Universität Gießen

**vorgelegt von**

**Hakan Tastan**

**aus Flensburg**

Gießen, 2008

Aus dem Institut für Anatomie und Zellbiologie  
des Fachbereichs Medizin der Justus-Liebig-Universität Gießen  
Direktorin: Prof. Dr. E. Baumgart-Vogt

Gutachter: Prof. Dr. Kummer

Gutachter: Prof. Dr. Schermuly

Tag der Disputation: 19.08.2008

„Ich erkläre:

Ich habe die vorgelegte Dissertation selbständig und ohne unerlaubte fremde Hilfe und nur mit den Hilfen angefertigt, die ich in der Dissertation angegeben habe. Alle Textstellen, die wörtlich oder sinngemäß aus veröffentlichten oder nicht veröffentlichten Schriften entnommen sind, und alle Angaben, die auf mündlichen Auskünften beruhen, sind als solche kenntlich gemacht. Bei den von mir durchgeführten und in der Dissertation erwähnten Untersuchungen habe ich die Grundsätze wissenschaftlicher Praxis, wie sie in der „Satzung der Justus-Liebig-Universität Gießen zur Sicherung guter wissenschaftlicher Praxis“ niedergelegt sind, eingehalten.“

# INHALTSVERZEICHNIS

<b>1.</b>	<b>Einleitung</b>	<b>1</b>
1.1	Sauerstoffhomöostase und Hypoxie	1
1.2	PC12-Zellen	1
1.3	Sauerstoffsensormodelle	2
1.4	Reaktive Sauerstoffspezies	4
1.5	Extra-mitochondriale ROS-Quellen	5
1.5.1	NAD(P)H-Oxidase	5
1.5.2	Xanthin-Oxidase	6
1.6	Mitochondriale ROS-Quellen	6
1.7	Aufbau und Funktion des Mitochondriums	7
1.7.1	Äußere und innere Mitochondrienmembran	7
1.7.2	Mitochondrienmatrix	8
1.7.3	Mitochondriale Atmungskette	8
1.8	Messung intrazellulärer ROS-Bildung	9
1.9	Fragestellung und Ziel	10
<b>2.</b>	<b>Material und Methodik</b>	<b>12</b>
2.1	Zellkultur	12
2.1.1	Zelllinie	12
2.1.2	Medium für PC12-Zellen	12
2.1.3	Trypsinisieren (Splitten)	12
2.1.4	Einfrieren der PC12-Zellen	12
2.1.5	Revitalisieren	13
2.1.6	Beschichtung der culture slides	13
2.2	Versuchsansatz und –durchführung	13
2.2.1	Aussaat der Zellen	13
2.2.2	Reagenzien	14
2.2.3	Kombination der eingesetzten Substanzen	16

2.2.4	Inkubation der Zellen	16
2.3	ROS-Messungen	17
2.3.1	Laserscanning	17
2.3.2	Messvorgang	17
2.3.3	Messreihenfolge	18
2.4	Statistische Auswertung	18
2.5	Rezepturen eingesetzter Lösungen	18
<b>3.</b>	<b>Ergebnisse</b>	<b>20</b>
3.1	Normoxie-/Hypoxieversuche unter Kontrollbedingungen bei PC12-Zellen	20
3.2	Normoxie-/Hypoxieversuche nach EBS-Exposition bei PC12-Zellen	22
3.3	Normoxie-/Hypoxieversuche nach DMTU-Exposition bei PC12-Zellen	25
3.4	Normoxie-/Hypoxieversuche nach Kat-Exposition bei PC12-Zellen	28
3.5	Normoxie-/Hypoxieversuche nach PHEN-Exposition bei PC12-Zellen	31
3.6	Normoxie-/Hypoxieversuche nach L-NMMA-Exposition bei PC12-Zellen	35
3.7	Normoxie-/Hypoxieversuche nach CYS-Exposition bei PC12-Zellen	38
3.8	Normoxie-/Hypoxieversuche nach NBT-Exposition bei PC12-Zellen	41
<b>4.</b>	<b>Diskussion</b>	<b>44</b>
<b>5.</b>	<b>Zusammenfassung</b>	<b>51</b>

<b>6.</b>	<b>Summary</b>	<b>53</b>
<b>7.</b>	<b>Literaturverzeichnis</b>	<b>55</b>
<b>8.</b>	<b>Danksagung</b>	<b>73</b>
<b>9.</b>	<b>Lebenslauf</b>	<b>74</b>

# **1. Einleitung**

## **1.1 Sauerstoffhomöostase und Hypoxie**

Ein konstanter Sauerstoffpartialdruck in allen Geweben ist für höhere Organismen lebensnotwendig. Sowohl das respiratorische als auch das kardiovaskuläre System sind daran beteiligt, das Gewebe mit dem benötigten Sauerstoff zu versorgen. Die Zellen selbst sind ebenfalls in der Lage, bei Veränderungen des O<sub>2</sub>-Drucks verschiedene adaptive Mechanismen zu induzieren, um eine optimale Sauerstoffversorgung zu gewährleisten (Guillemin und Krasnow, 1997). Sauerstoff dient als Elektronenakzeptor im Rahmen der mitochondrialen oxidativen Phosphorylierung und bei vielen anderen organischen und anorganischen Reaktionen. Die Eigenschaft, Metaboliten zu oxidieren, dient dabei oft der Umwandlung in Energie, insbesondere in Form von ATP. Hypoxie besteht, wenn das Sauerstoffangebot bzw. die Sauerstoffversorgung unter das Niveau sinkt, das benötigt wird, um physiologische O<sub>2</sub>-Drücke des betreffenden Gewebes aufrecht zu erhalten, d.h. sobald der Sauerstoffbedarf das -angebot übersteigt (Leniger-Follert et al., 1975). Sinkt der Sauerstoff-Partialdruck unter einen kritischen Wert im betroffenen Gewebe, so werden verschiedene adaptive Mechanismen aktiviert.

## **1.2 PC12-Zellen**

Ein O<sub>2</sub>-sensitives Regulationssystem ermöglicht die physiologische Antwort auf Hypoxie, indem es den Sauerstoffpartialdruck (pO<sub>2</sub>) von Blut und Gewebe innerhalb der physiologischen Grenzen konstant hält (Acker, 1993; López-Barneo et al., 1997; Conforti et al., 1999). Dieses Regulationssystem verfügt über spezielle chemosensitive Zellen, zu denen unter anderem auch paraganglionäre Zellen gehören (Kummer, 1996; Conforti et al., 1999). Paraganglien sind Hypoxie-sensitive Organe, die kontinuierlich den pO<sub>2</sub> messen und bei Hypoxie adaptive Reaktionen des Körpers, wie die reflektorische Hyperventilation und Katecholaminfreisetzung, initiieren (Kummer, 1996). Unterschieden werden retroperitoneale Paraganglien, zu denen als Sonderform das Nebennierenmark gehört, und die Glomera (Kummer, 1996). Besonders während des hypoxischen Stresses zum Zeitpunkt des Geburtsvorganges ist die Sekretion von

Kreislauf-aktivierenden Katecholaminen aus dem Nebennierenmark für das Überleben des Fetus essenziell (Lagercrantz, 1996).

Paraganglien sind durch das Vorkommen zweier Zelltypen charakterisiert, die Hauptzellen (Typ I-Zellen) und die Hüllzellen (Typ II-Zellen). Die Hauptzellen speichern in ihren sekretorischen Vesikeln Katecholamine und Serotonin, die unter Hypoxie freigesetzt werden. Diese Typ I-Zellen werden von den Ausläufern der Hüllzellen bedeckt (Kummer, 1996).

Greene und Tischler (1976) isolierten eine Tumorzelllinie (PC12-Zellen) aus dem Nebennierenmark der Ratte, die eine hohe Sensitivität gegenüber O<sub>2</sub>-Schwankungen aufweist (Conforti et al., 1999) und sich daher sehr gut für Studien des O<sub>2</sub>-messenden Mechanismus der Paraganglien eignet. Sie stellt deshalb ein Modellsystem für O<sub>2</sub>-chemosensitive Zellen dar (Czyzyk-Krzeska et al., 1994; Zhu et al., 1996; Taylor und Peers, 1998). Sie entsprechen morphologisch den O<sub>2</sub>-sensitiven Typ I-Zellen. Hypoxische Bedingungen führen in beiden Zelltypen zu einer Hemmung von K<sup>+</sup>-Kanälen (Buckler, 1999; Conforti & Millhorn, 2000), die eine Membrandepolarisation und einen Ca<sup>2+</sup>-Einstrom induzieren (Lopez-Barneo, 1988; Lopez-Barneo, 1996). Es kommt zu einer verstärkten Genexpression von Tyrosinhydroxylase (Czyzyk-Krzeska et al., 1992; Czyzyk-Krzeska et al., 1994; Spicer & Millhorn, 2003) und zur Katecholaminfreisetzung (Kumar et al., 1998; Taylor und Peers, 1998).

### **1.3 Sauerstoffsensormodelle**

Trotz zunehmender Erkenntnisse über die Hypoxie-induzierten zellulären Reaktionen wurden die O<sub>2</sub>-Sensoren in chemosensitiven Zellen noch nicht eindeutig identifiziert. Die genauen Mechanismen, mit denen Zellen die Änderungen des pO<sub>2</sub> detektieren und diese in eine physiologische, adaptive Antwort umwandeln, sind nach wie vor nur unvollständig bekannt (Acker et al., 1992; López-Barneo et al., 1997; Conforti et al., 1999; Semenza, 1999; Chandel und Schumacker, 2000).

Es gibt unterschiedliche O<sub>2</sub>-Sensormodelle, die diskutiert werden. Einige Arbeitsgruppen konnten z.B. O<sub>2</sub>-sensitive Ionenkanäle nachweisen, welche in verschiedenen Zelltypen identifiziert werden konnten (Franco-Obregon und Lopez-Barneo, 1996; Buckler, 1997; Fearon et al., 1999). Goldberg et al. (1988) schlugen Hämproteine als O<sub>2</sub>-Sensoren der Zelle vor, welche in der Lage sind, Sauerstoff direkt zu binden und eine O<sub>2</sub>-abhängige



Konformationsänderung durchzuführen. Diese Konformationsänderung soll zu einer Aktivierung von Transkriptionsfaktoren führen.

Eine andere Hypothese besagt, dass eine membrangebundene NADPH-Oxidase ähnlich der NADPH-Oxidase der Neutrophilen und Makrophagen als O<sub>2</sub>-Sensor in Frage kommt. Diese NADPH-Oxidase soll in Abhängigkeit von der Sauerstoffkonzentration H<sub>2</sub>O<sub>2</sub> produzieren. Das gebildete H<sub>2</sub>O<sub>2</sub> dient als second messenger und reguliert die Öffnungswahrscheinlichkeit von Kaliumkanälen und die Expression von bestimmten Genen (Acker, 1994; Acker und Xue, 1995).

Eine weitere Theorie ist die Prolylhydroxylasentheorie (Ivan et al., 2001; Jaakola et al., 2001, Yu et al., 2001). Unter Normoxie wird die  $\alpha$ -Untereinheit des Transkriptionsfaktors Hypoxie-induzierbarer Faktor (HIF) durch Prolylhydroxylasen (PHD) kontinuierlich hydroxyliert (Jaakola et al., 2001; Ivan et al., 2001). Das von Hippel-Lindau Tumorsuppressorprotein (pVHL) vermittelt dann die Ubiquitinierung und Degradation von HIF (Maxwell et al., 1999; Srinivas et al., 1999; Cockman et al., 2000; Kim und Kaelin, 2003). Die Prolylhydroxylierung wird durch Hypoxie inhibiert und führt zu einer Anreicherung von HIF (Ivan et al., 2001; Jaakola et al., 2001). Die PHD sind ein Eisen- und 2-Oxoglutarat-abhängiges Enzymsystem, die für ihre Funktion des Weiteren Ascorbat und molekularen Sauerstoff benötigen. Sie gelten deshalb unter anderem als Sauerstoffsensoren in der Zelle, insbesondere, wenn Änderungen in der Genexpression eingeleitet werden (Acker und Acker, 2004).

Sell (2001) konnte in Hypoxieversuchen zeigen, dass Mitochondrien als O<sub>2</sub>-Sensoren in PC12-Zellen fungieren. Es wurde festgestellt, dass es unter Hypoxie zu einem Anstieg der in den Mitochondrien gebildeten reaktiven Sauerstoffspezies (ROS) kommt.

Um die zellulären Reaktionsmechanismen auf O<sub>2</sub>-Mangel genauer zu untersuchen, führten Höhler et al. (1999; 2000) Hypoxie-Experimente an PC12-Zellen durch. Wie zuvor von anderen Arbeitsgruppen bei Kardiomyozyten (Duranteau et al., 1998) und Hep3B-Zellen (Chandel et al., 1998) beschrieben, konnten auch Höhler et al. (1999; 2000) einen Hypoxie-bedingten Anstieg reaktiver Sauerstoffspezies (ROS) beobachten. Zudem konnten Duranteau et al. (1998) bei Kardiomyozyten und Chandel et al. (1998) bei Hep3B-Zellen zwischen der Hypoxie-bedingten ROS-Zunahme und den anschließenden Zellreaktionen einen Zusammenhang nachweisen.

## 1.4 Reaktive Sauerstoffspezies

Reaktive Sauerstoffspezies (ROS) werden im Rahmen des enzymgebundenen Elektronentransports gebildet, der in allen biologischen Systemen einen wichtigen, natürlichen Prozess darstellt (Sharp und Chapman, 1999). Es handelt sich dabei um äußerst reaktionsfähige Sauerstoffverbindungen, die als Nebenprodukt des Zellstoffwechsels gebildet werden. Die Einteilung der ROS erfolgt aufgrund ihrer unterschiedlichen chemischen Strukturen und Ladungen in Superoxid-Anionen ( $O_2^{\cdot-}$ ), Hydroxylradikale ( $OH^{\cdot}$ ), Singulett-Sauerstoff ( $^1O_2$ ) und Wasserstoffperoxid ( $H_2O_2$ ).

Radikale sind chemisch äußerst aggressiv und reagieren leicht mit Molekülen ihrer Umgebung.  $H_2O_2$  zählt wegen seiner Reaktionsfreudigkeit ebenfalls zu den ROS, obwohl es sich bei diesem Molekül nicht um ein Radikal handelt (Rodney et al., 2000).

Der Organismus schützt sich vor der toxischen Wirkung der Radikale durch verschiedene Mechanismen (Slot et al., 1986). Übersteigt die zelluläre Produktion von ROS die Kapazität der Schutzmechanismen, so werden zelleigene Fette, Proteine und DNA geschädigt.

Dieser als "oxidativer Stress" bezeichnete Zustand wird für eine Reihe von Erkrankungen verantwortlich gemacht (Thannikal et al., 2000). ROS sind aber nicht nur toxische Nebenprodukte des Zellstoffwechsels, sondern haben in niedrigen Konzentrationen auch eine Funktion als second messenger und spielen eine wichtige Rolle im zellulären Signaltransduktionssystem (Finkel, 1998; Rhee, 1999; Ulrich und Bachschmid, 2000). An verschiedenen Zelltypen konnten Studien zudem zeigen, dass ROS auch unter Hypoxie als second messenger von besonderer Bedeutung für den Organismus sind (Chandel und Schumacker, 2000).

Es kommen verschiedene zelluläre Enzymsysteme als Entstehungsort für ROS in Frage, die entweder im Zytosol oder in den Mitochondrien lokalisiert sind (Cross und Jones, 1990; Zulueta et al., 1995; Jones et al., 1996; Kummer und Acker, 1997).

## 1.5 Extra-mitochondriale ROS-Quellen

### 1.5.1 NAD(P)H-Oxidase

Paraganglien schützen den Organismus vor hypoxischen Zuständen (Kummer, 1996), indem sie mit einem noch weitgehend unbekanntem Mechanismus (López-Barneo et al., 1997; Conforti et al., 1999) den arteriellen  $pO_2$  messen und adaptive Reaktionen im Körper initiieren (Kummer, 1996). Eines der Modelle zum  $O_2$ -messenden Mechanismus von Paraganglien beinhaltet, dass eine Flavohämoprotein-haltige NAD(P)H-Oxidase (NOX) unter Normoxie kontinuierlich eine gleichbleibende Menge an ROS bildet. NOX reduziert molekularen Sauerstoff in das Superoxid-Anion  $O_2^-$ , das zu Wasserstoffperoxid umgewandelt wird. Die gebildeten ROS werden zur Abwehr pathogener Mikroorganismen eingesetzt (Karnovsky, 1994; Babior, 1999). Mit ansteigendem  $pO_2$  kommt es zu einer erhöhten Produktion von Superoxid-Anionen und/oder Wasserstoffperoxid (Wolin et al., 2005).

Unter Hypoxie führt die verminderte  $O_2$ -Verfügbarkeit zu einer verlangsamten, geringeren ROS-Produktion, wodurch physiologische zelluläre Reaktionen aktiviert werden (Acker et al., 1992; Kroll und Czyzyk-Krzeska, 1998; Chandel und Schumacker, 2000).

Katalysiert wird die Bildung der ROS durch eine aus mehreren Proteinkomponenten bestehende NOX2 der neutrophilen Granulozyten (Cross und Jones, 1990; Karnovsky, 1994). Verschiedene Proteinkomponenten der NOX2 wurden nicht nur in den neutrophilen Granulozyten entdeckt, sondern auch in  $O_2$ -sensitiven Zellen (Görlach et al., 1993; Kummer und Acker, 1995; 1997; Youngson et al., 1997). Diese konnten an Typ I Zellen des Glomus caroticum (Kummer und Acker, 1995), an neuroepithelialen Körperchen der Lunge (Youngson et al., 1997) sowie an Erythropoetin-produzierenden HepG2-Lebertumorzellen nachgewiesen werden (Görlach et al., 1993). Bislang konnten die NADPH-Oxidasen 1-5 (NOX1-5) klassifiziert werden (Cheng et al., 2001). Als NOX2 wird die neutrophile NADPH-Oxidase bezeichnet (Cheng et al., 2001; Takeya et al., 2003). NOX4 wurde zunächst als „renal nox“ beschrieben und als potenzieller Sauerstoffsensoren, der die Produktion von Erythropoetin kontrolliert, vorgeschlagen (Geiszt et al., 2000). Das Enzym spielt darüber hinaus eine wichtige Rolle in der Regulation von HIF-2 in humanen Nierenzellkarzinomzellen (Maranchie und Zhan, 2005). NOX1 spielt eine wesentliche Rolle in der Entwicklung des Angiotensin II-

induzierten Bluthochdrucks (Dikalova et al., 2005; Matsuno et al., 2005; Gavazzi et al., 2006). Ebenso konnte nach Koexpression von NoxO1 (NAD(P)H-Oxidase Organizer1) und NoxA1 (NAD(P)H-Oxidase Aktivator1) in einer NOX1-exprimierende Zelllinie sowohl eine basale (Banfi et al., 2003; Cheng und Lambeth, 2004), als auch eine PMA-induzierbare (Geiszt et al., 2003; Takeya et al., 2003) Bildung von Superoxidanionen beobachtet werden.

### **1.5.2 Xanthin-Oxidase**

Die Xanthin-Oxidase (XO) stellt ein weiteres  $O_2^{\cdot-}$ -produzierendes Enzym dar. Es handelt sich um ein Membran-assoziiertes Enzym, das in Endothelzellen und anderen Zellen gefunden wurde (Ullrich und Bachschmidt, 2000). Die während einer Ischämie mit nachfolgender Reoxygenierung gebildeten ROS der XO werden unter anderem für die anschließend auftretenden endothelialen Schäden verantwortlich gemacht (Cross und Jones, 1990; Ullrich und Bachschmid, 2000). Andere Studien konnten jedoch zeigen, dass die Hypoxie-induzierte ROS-Bildung vor allem in Endothelzellen nicht auf eine XO-Produktion zurückzuführen ist (De Groot und Littauer, 1988; Littauer und De Groot, 1992; Hawes und Watts, 1993; Zulueta et al., 1995).

### **1.6 Mitochondriale ROS-Quellen**

Als mögliche potenzielle ROS-Quellen der Zelle kommen ebenfalls Mitochondrien in Frage (Boveris und Chance, 1973; Turrens und Boveris, 1980). Boveris und Chance (1973) konnten an zahlreichen Untersuchungen an Mitochondrien, die aus den unterschiedlichsten Geweben isoliert wurden, zeigen, dass Säugetiermitochondrien unter physiologischen Bedingungen  $H_2O_2$  produzieren. Verschiedene Studien konnten auch nachweisen, dass ein Zusammenhang zwischen den von den Mitochondrien gebildeten ROS und dem  $O_2$ -Sensormechanismus besteht (Chandel et al., 1998; Duranteau et al., 1998). Die Rolle der ROS wird jedoch kontrovers diskutiert, denn Duranteau et al. (1998) konnten an Kardiomyozyten zeigen, dass die ROS-Konzentration unter Hypoxie zunimmt. Chandel et al. (1998) forschten zur gleichen Zeit an Hep3B-Zellen und kamen ebenfalls zu dem Ergebnis, dass Hypoxie die mitochondriale ROS erhöht. Andere Studien wiesen hingegen einen ROS-Abfall unter Hypoxie nach (Fandrey, 1994; Kroll & Czyzyk-Kzeska, 1998; Görlach et al., 2003). Auch in PC12-Zellen stellen Mitochondrien die

Quelle der Hypoxie-induzierten ROS-Produktion dar (Höhler et al., 1999; Sell, 2001). Experimente verschiedener Arbeitsgruppen zeigten eine Bildung von ROS an Komplex I (Batandier et al., 2004) und Komplex III (Chandel et al., 2000; Chen et al., 2003). Die Arbeitsgruppe von Paddenberg et al. (2003a) demonstrierte an glatten Muskelzellen von Lungengefäßen Komplex II als Quelle der hypoxisch-induzierten ROS-Produktion in diesem Zelltyp. In PC12-Zellen wird bisher Komplex I (Sell, 2001) als mitochondriale Quelle der ROS-Produktion unter Hypoxie angenommen, aber auch eine partielle Mitbeteiligung von Komplex II (Täpper, 2005) konnte gezeigt werden.

Es wird angenommen, dass ROS als „second messenger“ adaptive und physiologische Reaktionen im Organismus induziert (Chandel und Schumacker, 1999; 2000). Demnach kommt den Mitochondrien neben ihrer wichtigen Stoffwechselfunktion außerdem eine große Bedeutung bei der lebensnotwendigen Erkennung von O<sub>2</sub>-Schwankungen und die daran gekoppelte Aktivierung von Adaptionenmechanismen zu. Allerdings wurde hierzu auch eine Alternativhypothese aufgestellt, nach der die Mitochondrien nicht selbst den O<sub>2</sub>-Sensor beherbergen, sondern durch ihren O<sub>2</sub>-Verbrauch in der Atmungskette indirekt in den Sensormechanismus eingreifen (Doege et al., 2005; Wenger, 2005). Nach diesem Modell führt eine Hemmung der Atmungskette durch verminderten O<sub>2</sub>-Verbrauch zu einer erhöhten O<sub>2</sub>-Konzentration im Zytoplasma, weswegen der dort lokalisierten PHD wieder genügend O<sub>2</sub> zur Verfügung steht und HIF weiterhin hydroxyliert und abgebaut werden kann. So wird zwar durch Hemmung der Atmungskette die zelluläre Hypoxieantwort unterdrückt, der Sensor (PHD) liegt in diesem Modell aber außerhalb des Mitochondriums (Doege et al., 2005; Wenger, 2005).

## **1.7 Aufbau und Funktion des Mitochondriums**

### **1.7.1 Äußere und innere Mitochondrienmembran**

Mitochondrien besitzen zwei Membranen. Die glatte, äußere Membran ist reich an Porin, einem Transmembranprotein, das unspezifische Poren bildet und den Durchtritt von kleinen Molekülen und Ionen bis zu einer Größe von 5 kD ermöglicht (Loreta-Trull und Serrano, 1998). An die äußere Membran schließt sich die proteinreiche und stark gefaltete innere Mitochondrienmembran an. Enzyme und Redoxproteine, die den Elektronentransport und die oxidative Phosphorylierung katalysieren, sind in den als

Cristae bezeichneten Einstülpungen der inneren Membran lokalisiert (Loreta-Trull und Serrano, 1998). Die innere Membran ist für viele Metaboliten, polare Moleküle und die meisten Ionen aufgrund ihres hohen Gehalts an Cardiolipin (Capaldi, 1983; Hatefi, 1985; Loreta-Trull und Serrano, 1998) impermeabel. Nur Moleküle, für die spezielle Transportproteine vorhanden sind, sind durchlässig. Dies führt zu einer Abgrenzung und Isolierung des Mitochondriums vom Cytosol und ermöglicht den Aufbau eines elektrochemischen Potenzialgradienten über diese innere Membran (Loreta-Trull und Serrano, 1998).

### **1.7.2 Mitochondrienmatrix**

Die innere Mitochondrienmembran umschließt die Matrix. Sie beinhaltet neben den löslichen Enzymen des oxidativen Stoffwechsels Substrate, Nucleotid-Kofaktoren sowie anorganische Ionen (Loreta-Trull und Serrano, 1998). Außerdem enthält die Matrix den genetischen Apparat der Mitochondrien, der eine Reihe verschiedener Mitochondrienproteine synthetisiert (Capaldi, 1982).

### **1.7.3 Mitochondriale Atmungskette**

Mitochondrien sind semiautonome Organellen, die wichtige Funktionen wie die Regulation des Zellstoffwechsels und des apoptotischen Zelltods erfüllen. Die Hauptfunktion der Mitochondrien liegt in der Energieproduktion in Form von Adenosin-5'-triphosphat (ATP) durch die oxidative Phosphorylierung aus Adenosin-5'-diphosphat (ADP) und anorganischem Phosphat (Chandel & Schumacker, 1999).

Die oxidative Phosphorylierung stellt einen Teil der in den Mitochondrien stattfindenden Atmungskette dar. Die mitochondriale Atmungskette besteht aus vier Enzymkomplexen, der NADH-Ubiquinon-Oxidoreduktase (Komplex I), der Succinat-Ubiquinon-Reduktase (Komplex II), der Cytochrom-c-Reduktase (Komplex III) und der Cytochrom-c-Oxidase (Komplex IV). Bei der oxidativen Phosphorylierung werden Elektronenpaare der energiereichen Moleküle NADH und FADH<sub>2</sub>, welche bei der Glykolyse der Fettsäureoxidation und dem Citratzyklus entstehen, über die Komplexe I, II, III und IV auf molekularen Sauerstoff übertragen. Energie, die dabei frei wird, wird zur ATP-Erzeugung verwendet. Während der Elektronenübertragung an den vier Komplexen kann es durch unvollständige Reduktion von Sauerstoff zur Entstehung von ROS kommen (Thannikal et al., 2000). Die dabei gebildeten ROS sind H<sub>2</sub>O<sub>2</sub> und O<sub>2</sub><sup>-</sup> (Chance et al.,

1979; Papa und Skulachev, 1997). Verschiedene Arbeitsgruppen konnten durch Untersuchungen zeigen, dass besonders den Komplexen II und III eine besondere Rolle in Bezug auf den Sauerstoffsensormechanismus zukommt. Turrens et al. (1985) zeigten, dass unter Normoxie ROS an Komplex III gebildet werden. Dabei dient Ubisemiquinon, einer von zwei mobilen Elektronencarriern der Atmungskette, als Elektronenquelle. Ubisemiquinon reduziert durch Abgabe von Elektronen  $O_2$  zu  $O_2^-$ . Untersuchungen an einer Hepatomzelllinie (Hep3B) (Chandel et al., 2000), welche mit verschiedenen Hemmstoffen der mitochondrialen Atmungskette behandelt wurde, zeigten, dass es besonders unter Hypoxie zu einem Anstieg der an Komplex III gebildeten ROS kommt. Die Arbeitsgruppe von Paddenberg et al. (2003a) konnte dahingegen den Komplex II als Quelle der hypoxisch induzierten ROS-Produktion in glatten Muskelzellen der Lungengefäße nachweisen.

## 1.8 Messung intrazellulärer ROS-Bildung

Die Bildung intrazellulärer ROS kann durch Fluoreszenzindikatoren nachgewiesen und quantifiziert werden. Die Fluoreszenzindikatoren sollten dabei in der Lage sein, die Zellmembran zu penetrieren, um signifikante intrazelluläre Konzentrationen zu erreichen. Die Indikatoren sollten zudem eine minimale zelluläre Toxizität aufweisen. Die Konversion der Indikatoren von einer nicht-fluoreszierenden zu einer fluoreszierenden Form sollte spezifisch für ROS sein. Außerdem sollte die oxidierte, fluoreszierende Form der Indikatoren die Zelle nicht mehr verlassen können (Royall und Ischiropoulos, 1993). Verschiedene Autoren berichteten, dass der farblose Fluoreszenzindikator Dihydro-rhodamin 123 ( $H_2R$ ) für diesen Zweck gut geeignet sei. Die intrazellulär gebildeten ROS (v.a.  $H_2O_2$ ) oxidieren die farblose Substanz zu ihrem fluoreszierenden Metaboliten Rhodamin 123 (Cathcart et al., 1983; Bass et al., 1983; Rothe et al., 1988; Royall und Ischiropoulos, 1993; Carter et al., 1994; Dugan et al., 1995; Crow, 1997). Mittels eines konfokalen Laserscanning-Mikroskopes kann die Fluoreszenzintensität des Indikators gemessen werden. Die Fluoreszenzintensität korreliert direkt mit der intrazellulären ROS-Konzentration (Royall und Ischiropoulos, 1993; Sawada et al., 1996; Possel et al., 1997; Chandel und Schumacker, 2000).

Es gibt unterschiedliche Meinungen bzgl. der Spezifität der ROS für die  $H_2R$ -Oxidation. Die Oxidation von  $H_2R$  durch  $H_2O_2$  ist abhängig von speziellen Kofaktoren wie z.B. Peroxidasen, Cytochrom C oder  $Fe^{2+}$  (Royall et al., 1993; Le Bel et al., 1992; Hempel et

al., 1999; Lawrence et al., 2003; Burkitt et al., 2001). Kooy et al. (1994) sowie Crow (1997) konnten eine Oxidation von H<sub>2</sub>R durch direkte Reaktion mit Peroxynitrit nachweisen. NO führt unter normoxischen Bedingungen zu einer langsamen Oxidation von H<sub>2</sub>R, unter anaerobischen Bedingungen wird H<sub>2</sub>R nicht oxidiert (Kooy et al., 1994). Andere Studien konnten nachweisen, dass O<sub>2</sub><sup>-</sup> und OH<sup>•</sup> nicht bei der Oxidation von H<sub>2</sub>R beteiligt sind (Henderson et al., 1993; Szabo et al., 1995; Gagnon et al., 1998; Winston et al., 1996). Die Spezifität des ROS-Nachweises durch H<sub>2</sub>R in PC12-Zellen unter Hypoxie ist allerdings nicht genau untersucht worden.

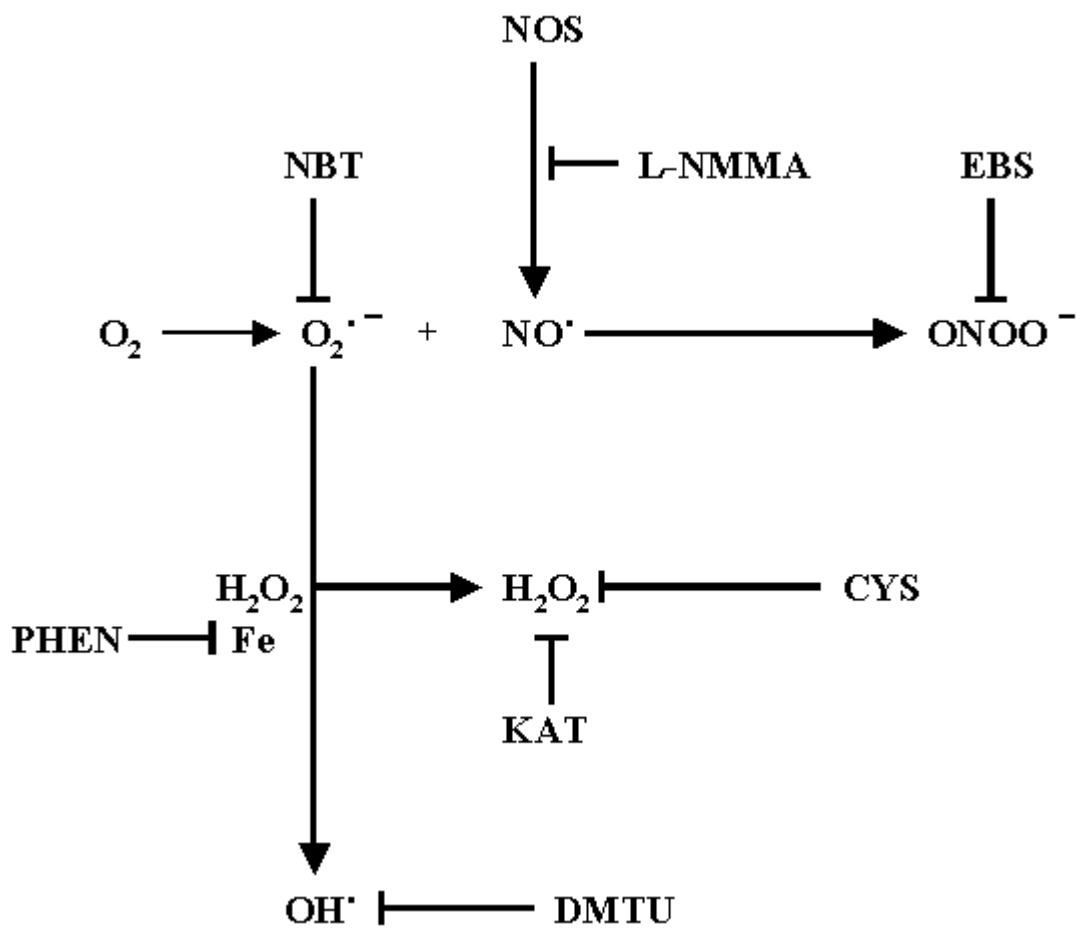
## 1.9 Fragestellung und Ziel

Höhler et al. (1999; 2000) und Sell (2001) konnten in Hypoxieversuchen an PC12-Zellen zeigen, dass es unter Hypoxie zu einem Anstieg der ROS kommt. Ebenso konnten die Mitochondrien als Quelle der ROS ausfindig gemacht werden (Sell 2001; Täpper, 2005). In den durchgeführten Versuchen an PC12-Zellen wurde bisher jedoch noch nicht untersucht, welche ROS genau gebildet werden.

Um diese ungeklärte Frage zu beantworten, wurde in dieser Arbeit untersucht, welche ROS unter Hypoxie in PC12-Zellen der Ratte gebildet werden. Ebenfalls wurde die Spezifität des Fluoreszenzindikators H<sub>2</sub>R für die ROS-Untersuchung untersucht. Zur genaueren Differenzierung der ROS wurden verschiedene Radikalfänger und Inhibitoren der ROS-Bildung eingesetzt.

Ebselen (EBS) ist ein Antioxidanz, welches an Peroxynitrit bindet und somit dessen Wirkung hemmt (Müller et al., 1985; Cotgreave et al., 1987). Dimethylthiourea (DMTU) ist ebenfalls ein Antioxidanz und wurde als OH-Radikalfänger eingesetzt (Fox, 1984). Katalase (KAT) ist ein Enzym, welches H<sub>2</sub>O<sub>2</sub> durch Umwandlung zu H<sub>2</sub>O und O<sub>2</sub> degradiert (Goldhaber et al., 1992). 1,10-Phenanthrolin (PHEN) ist ein Eisenchelator, welcher die Bildung von OH-Radikalen aus H<sub>2</sub>O<sub>2</sub> verhindert (Van den Hoek et al., 1997). N-G-Monomethyl-L-Arginin (L-NMMA) wurde als NO-Synthasehemmer eingesetzt (Dwyer et al., 1991; Reif et Mc Creedy, 1995; Arzumian et al., 2003). Als intrazellulärer H<sub>2</sub>O<sub>2</sub>-Fänger wurde Cysteamin (CYS) (Winterbourn et Metodiewa, 1999) eingesetzt und Nitroblautetrazolium (NBT) als intrazellulärer O<sub>2</sub><sup>-</sup>-Fänger (Rook et al., 1985; Berridge et al., 2005) (s. Abb. 1).





**Abb. 1:** Radikalfänger und Inhibitoren der ROS-Bildung

## **2. Material und Methodik**

### **2.1 Zellkultur**

#### **2.1.1 Zelllinie**

Für die Zellkultur wurden PC12-Zellen, eine Phäochromocytom-Zelllinie der Ratte (Greene und Tischler, 1976), aus der American Tissue Type Cell Collection (Rockville, MD, USA) verwendet.

#### **2.1.2 Medium für PC12-Zellen**

Zur Anzucht wurden 75 ml Zellkulturflaschen (Falcon, Heidelberg, D) für 1 h mit fetalem Kälberserum (PAA, Marburg, D) beschichtet. Danach wurden die Zellen in RPMI 1640-Grundmedium (Sigma, Deisenhofen, D), das je 500 ml mit 25 ml fetalem Kälberserum, 50 ml Pferdeserum (Pan Systems, Aidenbach, D), 5 ml Streptomycin/Penicillin und 5 ml L-Glutamin (Biomol, Hamburg, D) angereichert wurde, suspendiert. Die PC12-Zellen wurden dreimal wöchentlich einem Mediumwechsel unterzogen und bei 37 °C und 5 % CO<sub>2</sub> inkubiert.

#### **2.1.3 Trypsinisieren (Splitten)**

Die PC12-Zellen wurden nach 7-10 Tagen gesplittet. Hiefür wurden die adhären wachsenden Zellen durch Zugabe von 3 ml Trypsin von der Zellkulturflasche gelöst und 10 Minuten bei 500 g zentrifugiert, um eine Mindestmenge von fünf Millionen Zellen pro Milliliter zu erhalten. Das entstandene Zellpellet wurde mit Hilfe einer silikonisierten Pasteurpipette mehrmals trituiert und dann im Verhältnis 1:3 auf neue Zellkulturflaschen mit frischem Medium verteilt.

#### **2.1.4 Einfrieren der PC12-Zellen**

Beschriftete 1 ml fassende Kryo-Röhrchen wurden auf Eis vorgekühlt. Dem Kulturmedium wurde 10 % Dimethylsulfoxid (DMSO, Sigma) zugesetzt. Anschliessend wurde

das Zellpellet im Einfriermedium resuspendiert und in die Kryoröhrchen portioniert. Die Kryoröhrchen wurden zunächst eine Stunde im Kühlschrank abgekühlt, danach für 12 Stunden in einer  $-20\text{ }^{\circ}\text{C}$  Gefriertruhe zwischengelagert und schließlich in flüssigen Stickstoff überführt (Haltbarkeit bis zu zwei Jahren).

### **2.1.5 Revitalisieren**

Das Auftauen der Kryo-Röhrchen erfolgte in einem  $37\text{ }^{\circ}\text{C}$  warmen Wasserbad (B. Braun, Melsungen, D). Um die Bestandteile des Einfriermediums möglichst gründlich zu entfernen, wurde der Inhalt in 9 ml angewärmtes Kulturmedium pipettiert und 10 Minuten bei 500 g zentrifugiert. Das entstandene Zellpellet wurde mit frischem Kulturmedium versetzt und in einer 75 ml Zellkulturflasche ausgesät. Anschließend wurden die Zellen wie üblich inkubiert.

### **2.1.6 Beschichtung der culture slides**

Die culture slides (Falcon, Heidelberg, D, bestehend aus acht Nöpfen) wurden mit FCS beschichtet. Nach 30 min wurde das FCS abgesaugt und in jeden Napf wurden  $500\text{ }\mu\text{l}$  PC12-Zellmedium hinzugegeben. Die Anzahl der Zellen pro Napf betrug 30000.

## **2.2 Versuchsansatz und -durchführung**

### **2.2.1 Aussaat der Zellen**

12 Stunden vor Versuchsbeginn wurden die Zellen im Kulturmedium auf vier culture slides (30000 Zellen/Napf) je Versuchsansatz ausgesät. Die Kammerung des Objektträgers in acht Nöpfe ermöglichte die variable Kombination verschiedener Reagenzien an einem Versuchstag (Abb. 2).

L1	L2	R1	R2	
L3	L4	R3	R4	

**Abb. 2:** Achtfache Kammerung eines Objektträgers für variable Substanzkombinationen (schematisch dargestellt).

### 2.2.2 Reagenzien

Vor Versuchsbeginn wurde das Kulturmedium von den Nöpfen der culture slides abgesaugt. In jeden Napf wurden anschließend 0,5 ml des jeweiligen Versuchsansatzes pipettiert. Abhängig vom Versuchsansatz wurden folgende Substanzen in unterschiedlicher Kombination und Anordnung in die Nöpfe der culture slides eingebracht:

<b>Substanz</b>	<b>Abkürzung</b>	<b>Bezugsquelle</b>	<b>Vehikel</b>	<b>Konzentration</b>
<b>Dihydrorhodamin 123</b>	H <sub>2</sub> R	Sigma, Deisenhofen, D	Locke`sche Lösung	25 µM
<b>Ebselen</b>	EBS	Alexis biochemicals, Grünberg, D	Locke`sche Lösung	2 µM
<b>Dimethylthiourea</b>	DMTU	Sigma	Locke`sche Lösung	5 mM
<b>Katalase</b>	KAT	Sigma	Locke`sche Lösung	1000 U/ml
<b>1,10-Phenanthrolin</b>	PHEN	Sigma	Locke`sche Lösung	10 µM
<b>N-G-Monomethyl- L-Arginin</b>	L-NMMA	Ultrafine Chemicals, Manchester, U.K.	Locke`sche Lösung	200 µM
<b>Cysteamin</b>	CYS	Sigma	Locke`sche Lösung	9,6 mM
<b>Nitroblautetra- zolum</b>	NBT	Sigma	Locke`sche Lösung	1 µM

**Tabelle 1:** In den Experimenten verwendete Substanzen mit Angabe ihrer Abkürzungen, Bezugsquellen und Konzentrationen im jeweiligen Versuchsansatz.

### 2.2.3 Kombination der eingesetzten Substanzen

Fluoreszenzindikator	Versuchsansatz + Experimentenzahl					
	20 % O <sub>2</sub> / 1 % O <sub>2</sub>	20 % O <sub>2</sub> / 1 % O <sub>2</sub>	20 % O <sub>2</sub> / 1 % O <sub>2</sub>	20 % O <sub>2</sub> / 1 % O <sub>2</sub>	20 % O <sub>2</sub> / 1 % O <sub>2</sub>	20 % O <sub>2</sub> / 1 % O <sub>2</sub>
		+	+	+	+	+
		EBS	DMTU	KAT	PHEN	L-NMMA
H <sub>2</sub> R	35	5	5	5	5	5

Fluoreszenzindikator	Versuchsansatz + Experimentenzahl	
	20 % O <sub>2</sub> / 1 % O <sub>2</sub>	20 % O <sub>2</sub> / 1 % O <sub>2</sub>
	+	+
	NBT	CYS
H <sub>2</sub> R	5	5

**Tabelle 2:** Kombination der eingesetzten Substanzen in unterschiedlichen Versuchsansätzen und Angabe der Anzahl der jeweilig durchgeführten Experimente bei PC12-Zellen.

### 2.2.4 Inkubation der Zellen

Zwei Objektträger wurden für eine Stunde unter normoxischen Bedingungen (Raumluft, 20 % O<sub>2</sub>) inkubiert. Die beiden anderen Objektträger wurden in einer abgedichteten Plastikbox mit einem Volumen von 300 ml unter hypoxischen Bedingungen (1 % O<sub>2</sub>) inkubiert. Hierfür wurde über eine Schlauchkonstruktion im Deckel der Plastikbox ein Festgasgemisch, bestehend aus 1 % O<sub>2</sub>, 5 % CO<sub>2</sub> und N<sub>2</sub> als Balance, aus einer Gasflasche (Messer-Griesheim, Duisburg, D) kontinuierlich in die Box geleitet.

Nach 60 Minuten wurden alle Objektträger mit 4 % Paraformaldehyd in 0,1 M Phosphatpuffer (siehe Rezepturen eingesetzter Lösungen) fixiert. Das Plastikgefäß wurde über eine weitere Öffnung im Deckel mit Hilfe eines Injektionssystems mit dem Fixiermittel

geflutet, um die Zellen vor einer Reoxygenierung zu fixieren. Nach zehn Minuten wurde die Fixierung der Zellen und des Fluoreszenzindikators abgeschlossen.

Nach der Fixierung wurden die Zellen zur Entfernung des überschüssigen Fluoreszenzindikators und des Fixiermittels zweimal fünf Minuten mit 0,1 M Phosphatpuffer gewaschen und mit gepuffertem Glycerol (siehe Rezepturen eingesetzter Lösungen) als Eindeckmedium eingedeckt. Um einer temperaturbedingten Radikalbildung vorzubeugen, wurden die Objektträger während der Messungen bei 4 °C aufbewahrt.

## **2.3 ROS-Messungen**

### **2.3.1 Laserscanning**

Es wurde ein Laser Scan Mikroskop (LSM 10, Zeiss, Jena, D) im nicht-konfokalen Modus benutzt, um die Fluoreszenzintensität zu messen. Die Laserwellenlänge betrug 488 nm. Es wurde das 40er Objektiv mit zweifacher Nachvergrößerung (Zoom) benutzt. Die Fluoreszenz wurde möglich durch die Reaktion des Indikators:  $H_2R \rightarrow \text{Rhodamin 123}$ . An jedem Versuchstag wurden zu Beginn der Messungen der Kontrast und die Helligkeit separat für den Fluoreszenzindikator neu eingestellt. Dafür wurden alle vier Objektträger kurzzeitig gescannt und geeignete Kontrast- und Helligkeitswerte ermittelt, die sowohl bei Objektträgern mit sehr hoher als auch mit sehr niedriger Fluoreszenzintensität eine Auswertung ermöglichten. Die Scanzeit betrug 32 Sekunden.

### **2.3.2 Messvorgang**

Die Näpfe wurden im Transmissionsmodus kurz betrachtet, um geeignete Zellen auszuwählen. Gewählt wurden Zellen, die sich in der Mitte der Näpfe befanden und nicht übereinander lagen. Von jedem Napf wurden die Fluoreszenzintensitäten von 10 Zellen gemessen. Die ermittelten Werte für die Fluoreszenzintensität wurden in Graustufen auf einer Skala von 0-255 wiedergegeben.

### 2.3.3 Messreihenfolge

An einem Versuchstag wurden vier mit Buchstaben kodierte Objektträger blind analysiert. Die kodierten Objektträger wurden in definierter gleicher Reihenfolge durchgemustert, um alle Näpfe während der Messungen den gleichen Licht- und Temperaturbedingungen auszusetzen. Während des Messvorganges wurden die Objektträger mit Hilfe eines Kühlaggregats auf 4 °C abgekühlt, um weitere Radikalbildungen zu minimieren. Die Messungen erfolgten nach dem Schema: AL1-DL1, AR1-DR1, AL2-DL2, AR2-DR2, AL3-DL3, AR3-DR3, AL4-DL4, AR4-DR4 (vgl. Abb. 2).

## 2.4 Statistische Auswertung

Die Daten eines jeden Versuchstages wurden mit den nicht-parametrischen Tests nach Kruskal-Wallis und Mann-Whitney mit Hilfe des Statistikprogramms SPSS 9.0 analysiert. Es wurden Einzelvergleiche durch Testung auf kritische Rangsummen-differenzen durchgeführt (Bortz und Lienert, 1998). Die Medianwerte der einzelnen Gruppen eines Versuchstages wurden in eine übergeordnete Tabelle zur weiteren Auswertung überführt. Hierbei wurde für nicht-signifikante Werte der unterschiedlichen Gruppen der jeweils gleiche Wert (Mittelwert der einzeln errechneten Mediane) eingesetzt. Beobachtete Differenzen wurden bei  $p \leq 0,05$  als signifikant eingestuft. In dieser übergeordneten Tabelle wurden die Werte eines Versuchstages als gepaart betrachtet. Entsprechend erfolgte die weitere statistische Auswertung mit den nicht-parametrischen Tests für abhängige Stichproben nach Friedman und Wilcoxon.

## 2.5 Rezepturen eingesetzter Lösungen

### Phosphatpuffer

Lösung A: 0,2 M Natriumdihydrogenphosphat-Dihydrat (31,2 g/L) (Merck, D)

Lösung B: 0,2 M Dinatriumhydrogenphosphat-Dihydrat (35,6 g/L) (Merck)

Mischverhältnis: 230 ml Lösung A mit 770 ml Lösung B, pH 7,4



### Gepuffertes Glycerol

Pufferlösungsherstellung aus einer Mischung von 50 ml Natriumhydrogencarbonat (Merck) mit 0,5 M Dinatriumcarbonat (Merck) bei einem pH-Wert von 8,6. Mischung des Glycerols (Merck) mit Puffer im Verhältnis 2:1.

### Fixationslösung

40 g Paraformaldehyd werden in 500 ml Aqua dest. langsam auf 70 °C erhitzt. Zugabe von einigen Tropfen 2 M NaOH bis die Lösung klar wird. Nach dem Erkalten lassen Zugabe von 500 ml 0,2 M Phosphatpuffer. Anschließende Einstellung des pH-Wertes auf 7,2-7,4. Danach membranfiltrieren (3 µm Porengröße) und Lagerung bei -20 °C.

### Locke`sche Lösung

Ansatz für 125 ml:

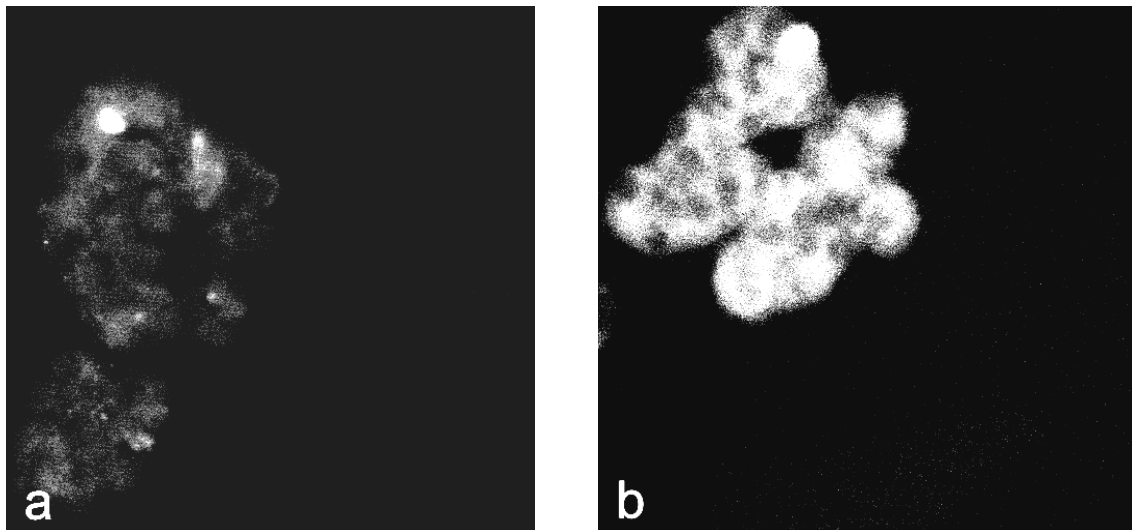
- 0,34 g Natriumchlorid
- + 0,51 g Hepes (Sigma)
- + 0,44 g Saccharose (Merck)
- + 0,13 g Glucose in 125 ml Aqua dest.

Einstellung des pH-Wertes auf 7,28. Anschließende Zugabe von 0,039 g Calciumchlorid (Merck) und Filtrierung mit 0,2 µm Membranen. Lagerung bei -20 °C.

### 3. Ergebnisse

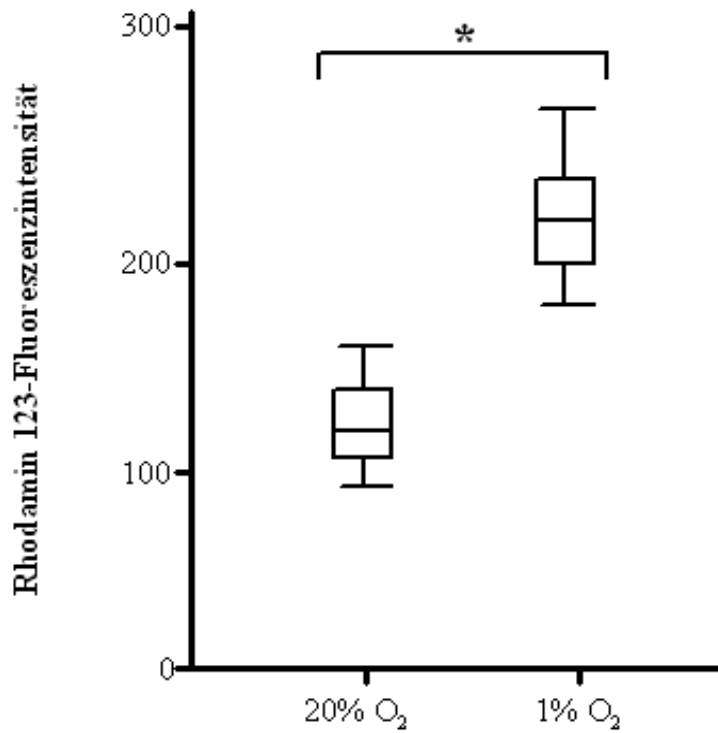
#### 3.1 Normoxie-/Hypoxieversuche unter Kontrollbedingungen bei PC12-Zellen

In insgesamt 35 Kontrollversuchen wurde bei PC12-Zellen unter Verwendung von H<sub>2</sub>R die Fluoreszenzintensität nach einstündiger Normoxie und Hypoxie verglichen. Es konnte bei allen Messungen ein signifikanter Anstieg der Fluoreszenzintensität, d.h. der ROS-Bildung, unter hypoxischen Bedingungen beobachtet werden (Abb. 3, 4 und 5).

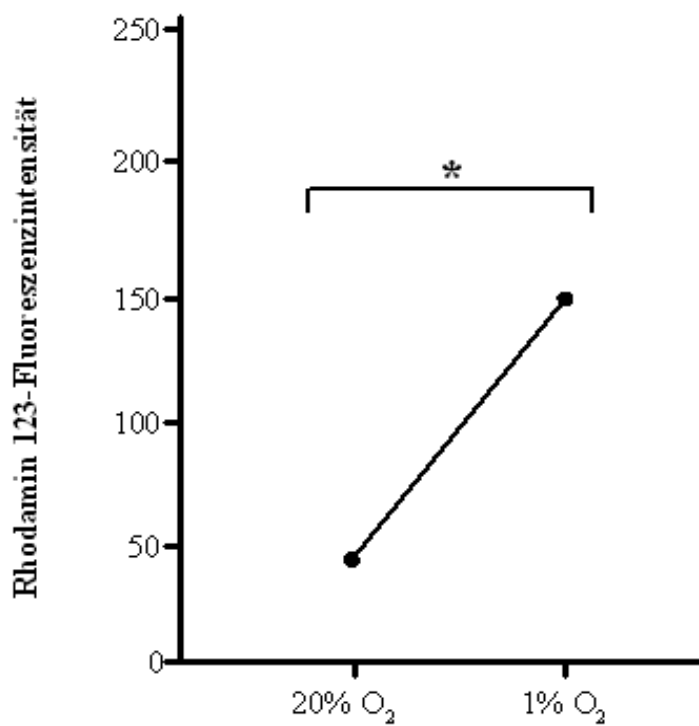


**Abb. 3a:** LSM-Darstellung der PC12-Zellen nach einstündiger Normoxie (20 % O<sub>2</sub>).

**Abb. 3b:** LSM-Darstellung der PC12-Zellen nach einstündiger Hypoxie (1 % O<sub>2</sub>).



**Abb. 4:** Minimum-, Maximum- und Medianwerte sowie die Perzentile 25 und 75 der Grauwert-kodierten intrazellulären Rhodamin 123-Fluoreszenzintensität eines Versuchstages bei PC12-Zellen nach einstündiger Normoxie (20 % O<sub>2</sub>, n=80) und Hypoxie (1 % O<sub>2</sub>, n=80). \* kennzeichnet Unterschiede mit p<0,05.

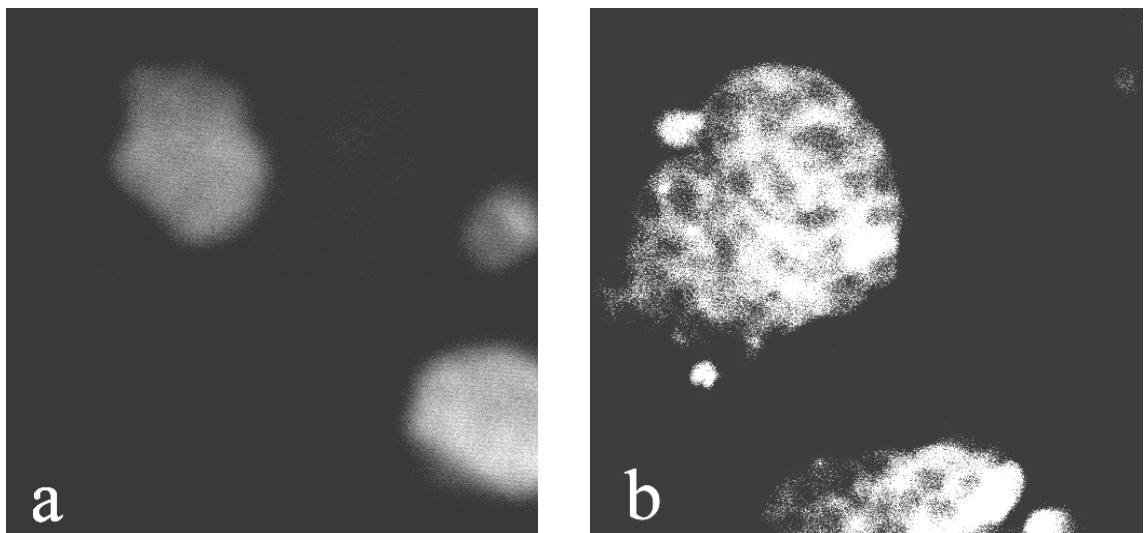


**Abb. 5:** Grauwert-kodierte intrazelluläre Rhodamin 123-Fluoreszenzintensität eines Versuchstages nach einstündiger Normoxie (20 % O<sub>2</sub>, n=80) und Hypoxie (1 % O<sub>2</sub>, n=80) bei PC12-Zellen. Jeder Punkt gibt den ermittelten Medianwert eines Versuchstages wieder. \* kennzeichnet Unterschiede mit p<0,05.

### 3.2 Normoxie-/Hypoxieversuche nach EBS-Exposition bei PC12-Zellen

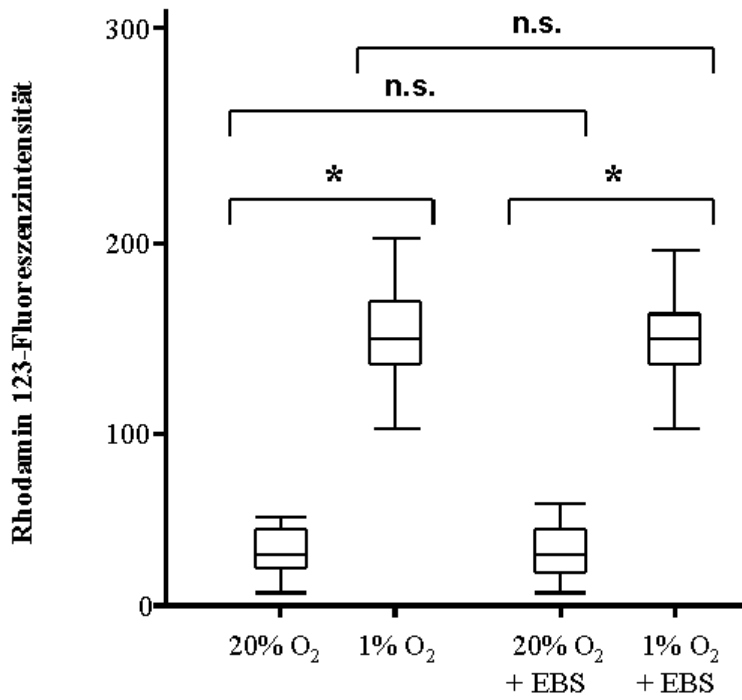
Um den Einfluss von EBS auf die Fluoreszenzintensität zu überprüfen, wurden PC12-Zellen für eine Stunde unter hypoxischen und normoxischen Bedingungen in Gegenwart von EBS (2 µM) inkubiert. Unter Zugabe von EBS kam es bei PC12-Zellen zu einer signifikanten hypoxiebedingten Zunahme der Rhodamin 123-Fluoreszenzintensität (Abb. 6, 7 und 8).

Die Messergebnisse von EBS-behandelten PC12-Zellen und unbehandelten Kontrollzellen wiesen nach Inkubation unter Normoxie und Hypoxie keine signifikanten Unterschiede auf (Abb. 7, 9 und Tabelle 3).

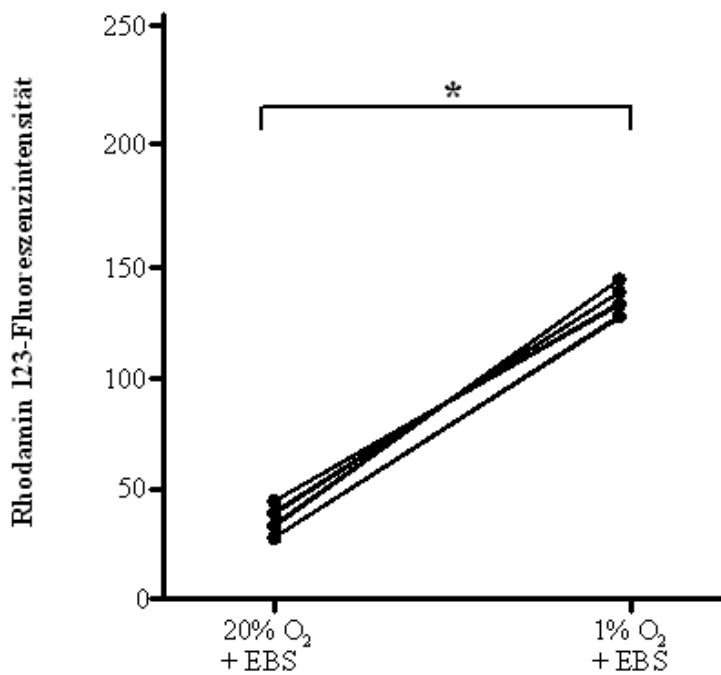


**Abb. 6a:** LSM-Darstellung der PC12-Zellen nach einstündiger Normoxie (20 % O<sub>2</sub>) und EBS-Zugabe.

**Abb. 6b:** LSM-Darstellung der PC12-Zellen nach einstündiger Hypoxie (1 % O<sub>2</sub>) und EBS-Zugabe.



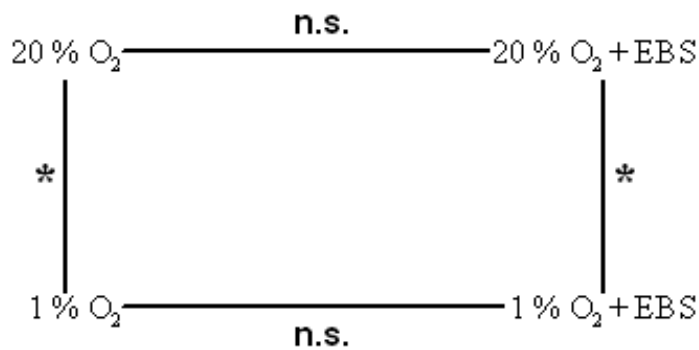
**Abb. 7:** Minimum-, Maximum- und Medianwerte sowie die Perzentile 25 und 75 der Grauwert-kodierten intrazellulären Rhodamin 123-Fluoreszenzintensität eines Versuchstages bei Kontrollzellen und EBS-inkubierten Zellen nach einstündiger Normoxie (20 % O<sub>2</sub>, n=80) und Hypoxie (1 % O<sub>2</sub>, n=80). \* kennzeichnet Unterschiede mit p<0,05.



**Abb. 8:** Grauwert-kodierte intrazelluläre Rhodamin 123-Fluoreszenzintensität nach einstündiger Normoxie (20 % O<sub>2</sub>, n=80) und Hypoxie (1 % O<sub>2</sub>, n=80) unter EBS-Zugabe. Jeder Punkt gibt den ermittelten Medianwert eines Versuchstages wieder. \* kennzeichnet Unterschiede mit p<0,05.

20 % O <sub>2</sub>	1 % O <sub>2</sub>	20 % O <sub>2</sub> + EBS	1 % O <sub>2</sub> + EBS
28	142	32	139
35	148	34	147
32	152	32	140
21	168	22	149
34	135	40	153

**Tabelle 3:** Medianwerte der Grauwert-kodierten intrazellulären Rhodamin 123-Fluoreszenzintensität nach einstündiger Normoxie (20 % O<sub>2</sub>, n=80) und Hypoxie (1 % O<sub>2</sub>, n=80) in Kontrollen und nach EBS-Zugabe.

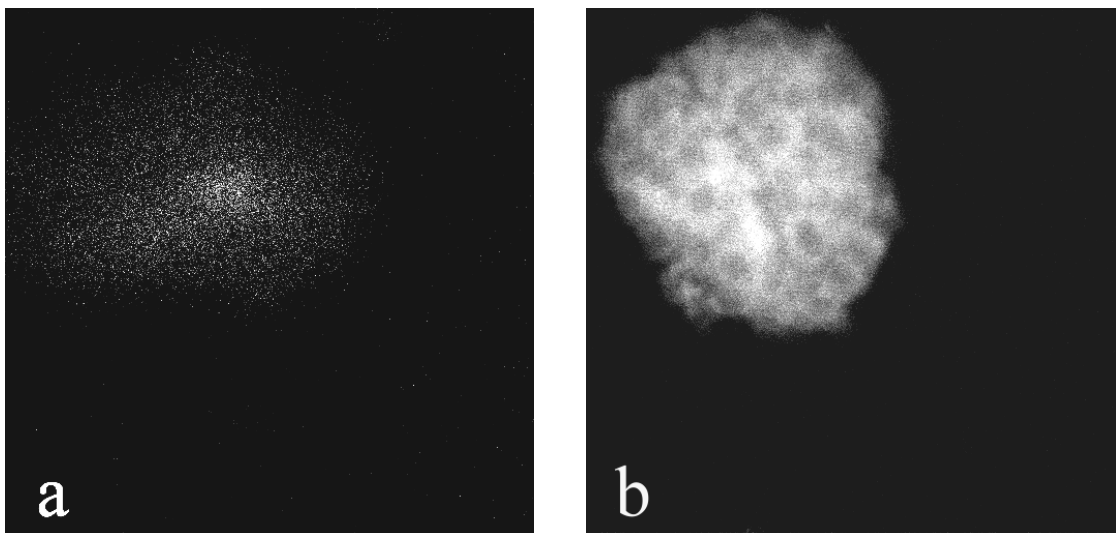


**Abb. 9:** Statistisch gesicherte Signifikanzen der Unterschiede in der intrazellulären Rhodamin 123-Fluoreszenzintensität nach einstündiger Normoxie (20 % O<sub>2</sub>, n=80) und Hypoxie (1 % O<sub>2</sub>, n=80) in Kontrollen und nach EBS-Zugabe. \* kennzeichnet Unterschiede mit p<0,05; n.s. kennzeichnet Unterschiede mit p>0,05.

### 3.3 Normoxie-/Hypoxieversuche nach DMTU-Exposition bei PC12-Zellen

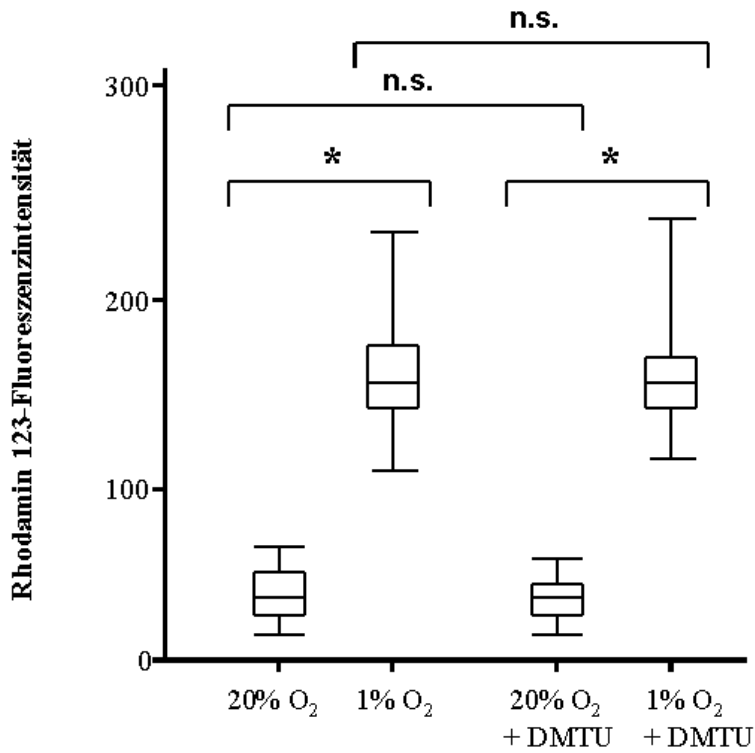
Um den Einfluss von DMTU auf die Fluoreszenzintensität zu überprüfen, wurden PC12-Zellen für eine Stunde unter hypoxischen (1 % O<sub>2</sub>) und normoxischen (20 % O<sub>2</sub>) Bedingungen in Gegenwart von DMTU (5 mM) inkubiert. Unter Zugabe von DMTU kam es bei PC12-Zellen zu einer signifikanten hypoxiebedingten Zunahme der Rhodamin 123-Fluoreszenzintensität (Abb. 10, 11 und 12).

Die Messergebnisse von DMTU-behandelten Zellen und Kontrollen wiesen nach Inkubation unter Normoxie keine signifikanten Unterschiede auf. Auch nach Inkubation unter hypoxischen Konditionen war der Unterschied nicht signifikant (Abb. 11, 13 und Tabelle 4).

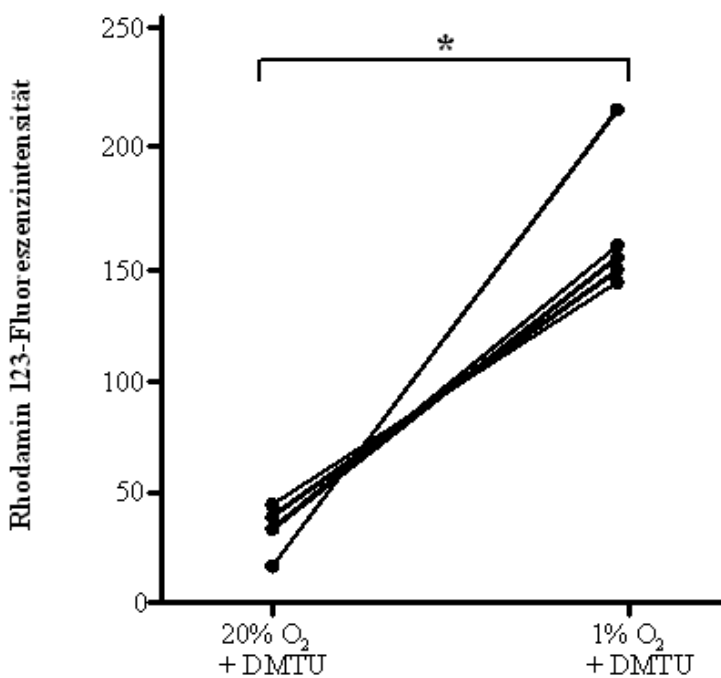


**Abb. 10a:** LSM-Darstellung der PC12-Zellen nach einstündiger Normoxie (20 % O<sub>2</sub>) und DMTU-Zugabe.

**Abb. 10b:** LSM-Darstellung der PC12-Zellen nach einstündiger Hypoxie (1 % O<sub>2</sub>) und DMTU-Zugabe.



**Abb. 11:** Minimum-, Maximum- und Medianwerte sowie die Perzentile 25 und 75 der Grauwert-kodierten intrazellulären Rhodamin 123-Fluoreszenzintensität eines Versuchstages bei Kontrollzellen und DMTU-inkubierten Zellen nach einstündiger Normoxie (20 % O<sub>2</sub>, n=80) und Hypoxie (1 % O<sub>2</sub>, n=80). \* kennzeichnet Unterschiede mit p<0,05.

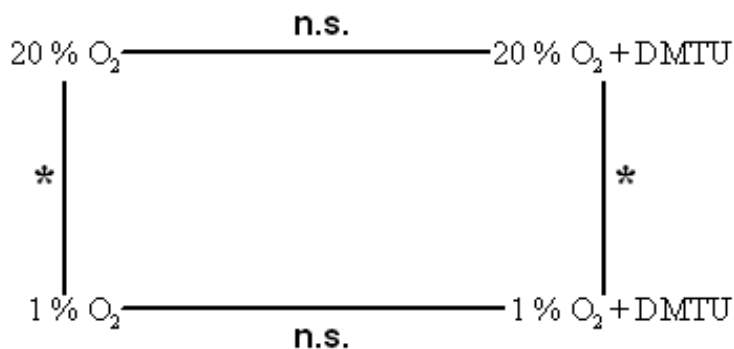




**Abb. 12:** Grauwert-kodierte intrazelluläre Rhodamin 123-Fluoreszenzintensität nach einstündiger Normoxie (20 % O<sub>2</sub>, n=80) und Hypoxie (1 % O<sub>2</sub>, n=80) unter DMTU-Zugabe. Jeder Punkt gibt den ermittelten Medianwert eines Versuchstages wieder. \* kennzeichnet Unterschiede mit p<0,05.

20 % O <sub>2</sub>	1 % O <sub>2</sub>	20 % O <sub>2</sub> + DMTU	1 % O <sub>2</sub> + DMTU
47	171	41	156
26	194	15	212
35	148	34	147
40	152	37	151
26	145	28	144

**Tabelle 4:** Medianwerte der Grauwert-kodierten intrazellulären Rhodamin 123-Fluoreszenzintensität nach einstündiger Normoxie (20 % O<sub>2</sub>, n=80) und Hypoxie (1 % O<sub>2</sub>, n=80) in Kontrollen und nach DMTU-Zugabe.

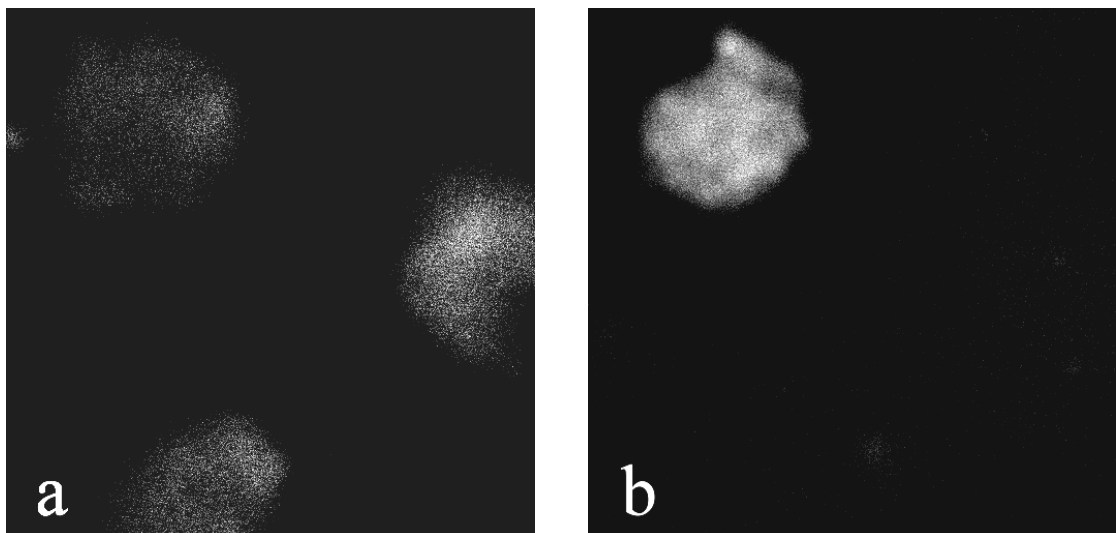


**Abb. 13:** Statistisch gesicherte Signifikanzen der Unterschiede in der intrazellulären Rhodamin 123-Fluoreszenzintensität nach einstündiger Normoxie (20 % O<sub>2</sub>, n=80) und Hypoxie (1 % O<sub>2</sub>, n=80) in Kontrollen und nach DMTU-Zugabe. \* kennzeichnet Unterschiede mit p<0,05; n.s. kennzeichnet Unterschiede mit p>0,05.

### 3.4 Normoxie-/Hypoxieversuche nach KAT-Exposition bei PC12-Zellen

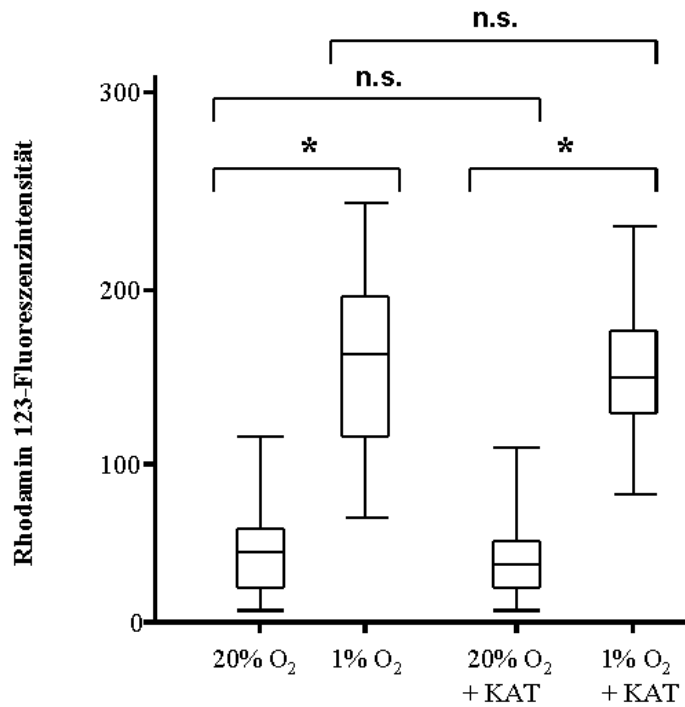
Um den Einfluss von KAT auf die Fluoreszenzintensität zu überprüfen, wurden PC12-Zellen für eine Stunde unter hypoxischen (1 % O<sub>2</sub>) und normoxischen (20 % O<sub>2</sub>) Bedingungen in Gegenwart von KAT (1000 U/ml) inkubiert. Unter Zugabe von KAT kam es bei PC12-Zellen zu einer signifikanten hypoxiebedingten Zunahme der Rhodamin 123-Fluoreszenzintensität (Abb. 14, 15 und 16).

Die Messergebnisse von KAT-behandelten Zellen im Vergleich zu Kontrollen wiesen nach Inkubation unter Normoxie keinen signifikanten Unterschied auf. Auch nach Inkubation unter hypoxischen Konditionen war kein signifikanter Unterschied zu beobachten (Abb. 15, 17 und Tabelle 5).

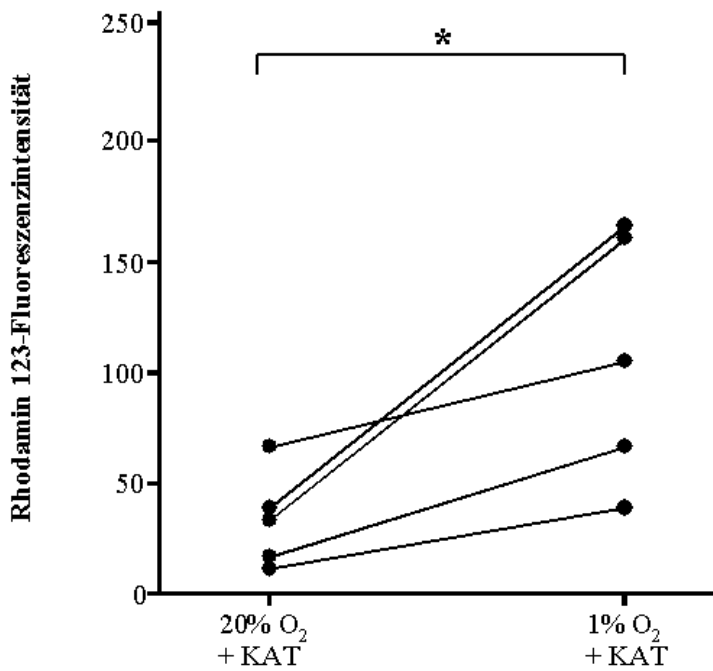


**Abb. 14a:** LSM-Darstellung der PC12-Zellen nach einstündiger Hypoxie (20 % O<sub>2</sub>) und KAT-Zugabe.

**Abb. 14b:** LSM-Darstellung der PC12-Zellen nach einstündiger Hypoxie (1 % O<sub>2</sub>) und KAT-Zugabe.



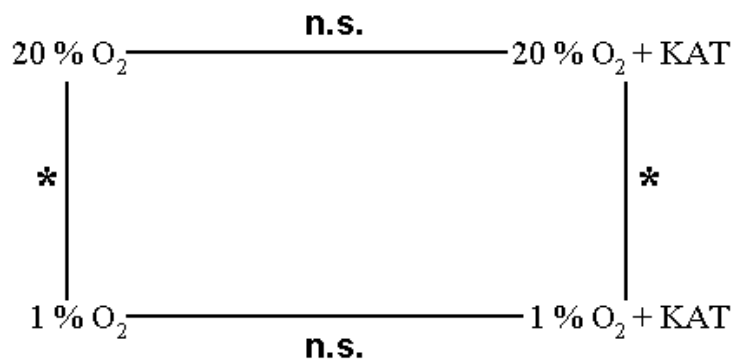
**Abb. 15:** Minimum-, Maximum- und Medianwerte sowie die Perzentile 25 und 75 der Grauwert-kodierten intrazellulären Rhodamin 123-Fluoreszenzintensität eines Versuchstages bei Kontrollzellen und KAT-inkubierten Zellen nach einstündiger Normoxie (20 % O<sub>2</sub>, n=80) und Hypoxie (1 % O<sub>2</sub>, n=80). \* kennzeichnet Unterschiede mit p<0,05.



**Abb. 16:** Grauwert-kodierte intrazelluläre Rhodamin 123-Fluoreszenzintensität nach einstündiger Normoxie (20 % O<sub>2</sub>, n=80) und Hypoxie (1 % O<sub>2</sub>, n=80) unter KAT-Zugabe. Jeder Punkt gibt den ermittelten Medianwert eines Versuchstages wieder. \* kennzeichnet Unterschiede mit p<0,05.

20 % O <sub>2</sub>	1 % O <sub>2</sub>	20 % O <sub>2</sub> + KAT	1 % O <sub>2</sub> + KAT
47	94	13	39
54	197	41	158
9	36	16	56
54	144	71	103
45	166	34	152

**Tabelle 5:** Medianwerte der Grauwert-kodierten intrazellulären Rhodamin 123-Fluoreszenzintensität nach einstündiger Normoxie (20 % O<sub>2</sub>, n=80) und Hypoxie (1 % O<sub>2</sub>, n=80) in Kontrollen und nach KAT-Zugabe.

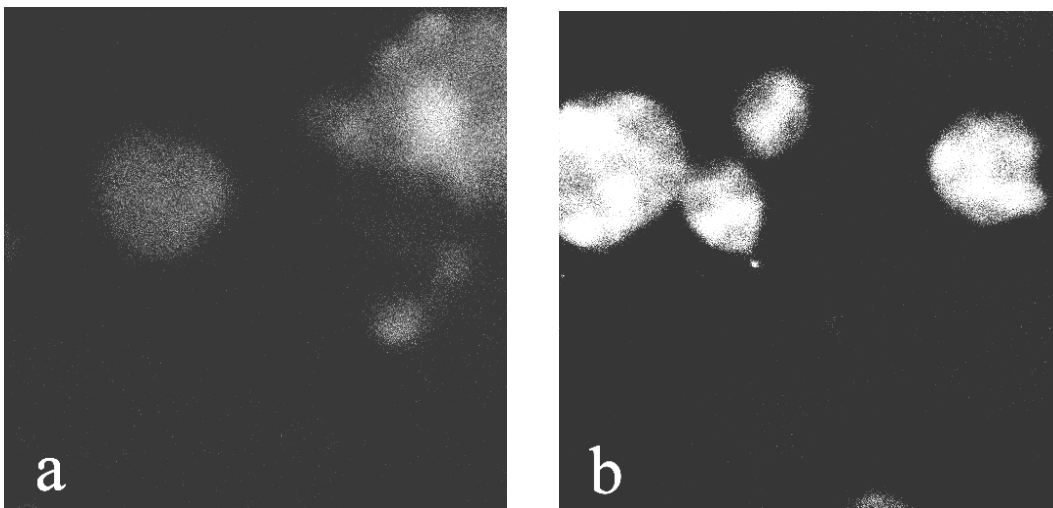


**Abb. 17:** Statistisch gesicherte Signifikanzen der Unterschiede in der intrazellulären Rhodamin 123-Fluoreszenzintensität nach einstündiger Normoxie (20 % O<sub>2</sub>, n=80) und Hypoxie (1 % O<sub>2</sub>, n=80) in Kontrollen und nach KAT-Zugabe. \* kennzeichnet Unterschiede mit p<0,05.

### 3.5 Normoxie-/Hypoxieversuche nach PHEN-Exposition bei PC12-Zellen

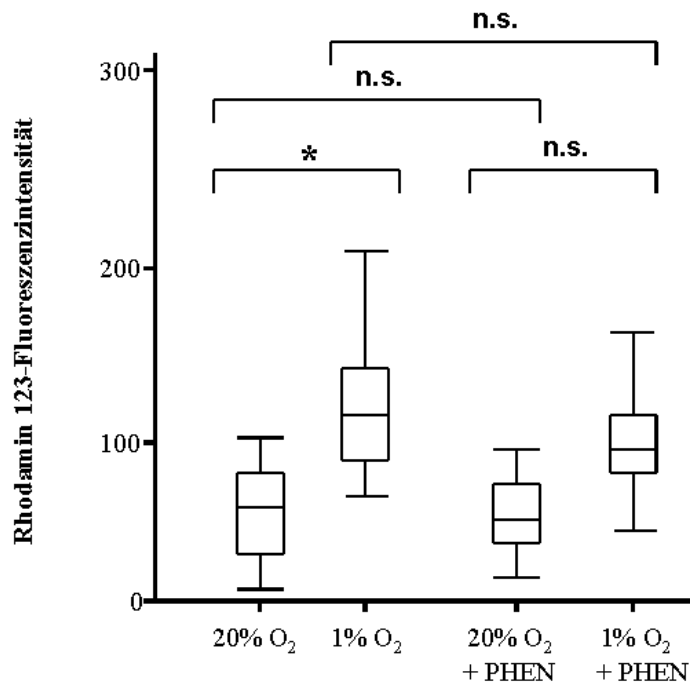
Um den Einfluss von PHEN auf die Fluoreszenzintensität zu überprüfen, wurden PC12-Zellen für eine Stunde unter hypoxischen (1 % O<sub>2</sub>) und normoxischen (20 % O<sub>2</sub>) Bedingungen in Gegenwart von PHEN (10 µM) inkubiert. Nach Zugabe von PHEN war unter Hypoxie eine Tendenz zu höheren Werten zu beobachten, dieser Unterschied war jedoch nicht signifikant ausgeprägt (Abb. 18, 19a und 20). Nur in einem einzelnen Experiment wurde unter Normoxie eine höhere Fluoreszenzintensität gemessen als unter Hypoxie (Abb. 19b, 20 und Tabelle 6).

Im Vergleich zu Kontrollen wiesen PHEN-behandelte Zellen nach Inkubation unter normoxischen Konditionen keinen signifikanten Unterschied in der Rhodamin 123-Fluoreszenzintensität auf. Auch unter Hypoxie wiesen die Zellen keinen signifikanten Unterschied auf (Abb. 19a, 21 und Tabelle 6). Nur in einem Versuch wiesen PHEN-behandelte Zellen im Vergleich zu den Kontrollen unter normoxischen und hypoxischen Konditionen einen signifikanten Unterschied auf (Abb. 19b, Tabelle 6).

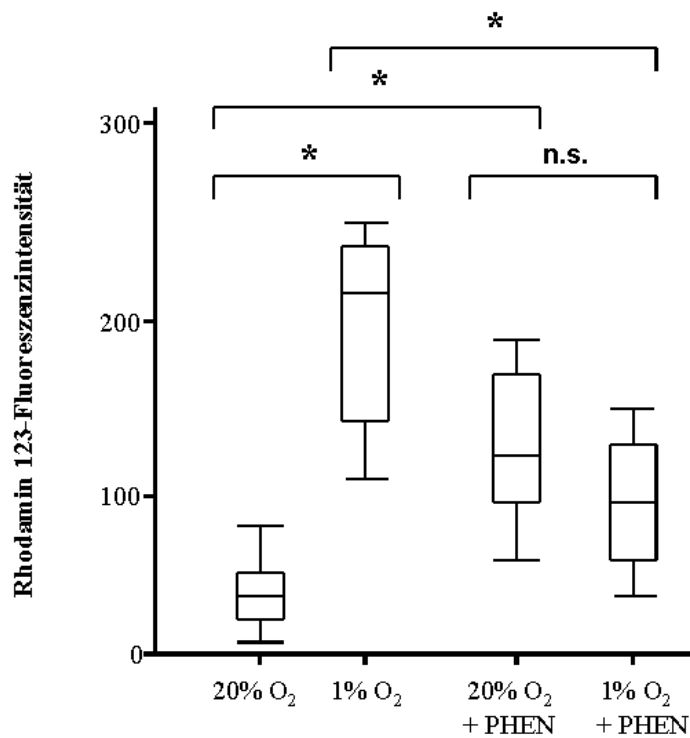


**Abb. 18a:** LSM-Darstellung der PC12-Zellen nach einstündiger Normoxie (20 % O<sub>2</sub>) und PHEN-Zugabe.

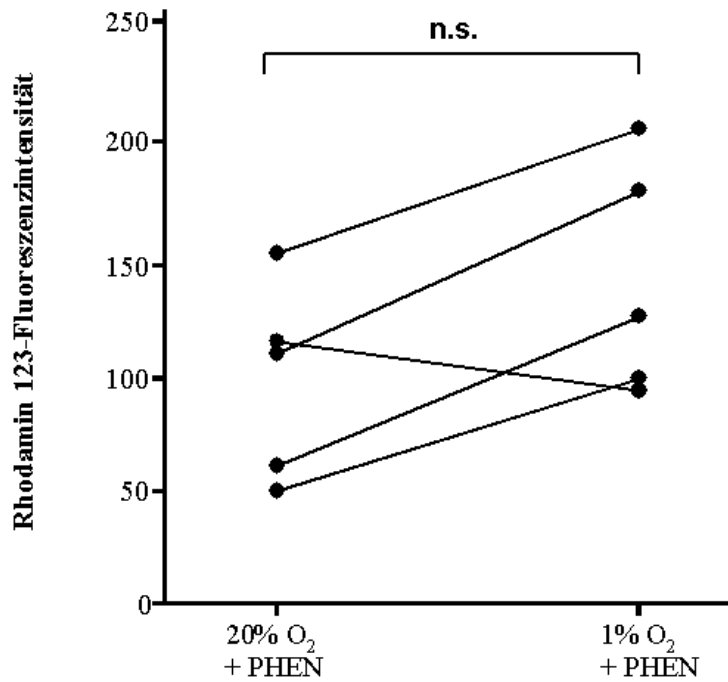
**Abb. 18b:** LSM-Darstellung der PC12-Zellen nach einstündiger Hypoxie (1 % O<sub>2</sub>) und PHEN-Zugabe.



**Abb. 19a:** Minimum-, Maximum- und Medianwerte sowie die Perzentile 25 und 75 der Grauwert-kodierten intrazellulären Rhodamin 123-Fluoreszenzintensität eines Versuchstages bei Kontrollzellen und PHEN-inkubierten Zellen nach einstündiger Normoxie (20 % O<sub>2</sub>, n=80) und Hypoxie (1 % O<sub>2</sub>, n=80). \* kennzeichnet Unterschiede mit p<0,05; n.s. kennzeichnet Unterschiede mit p>0,05.



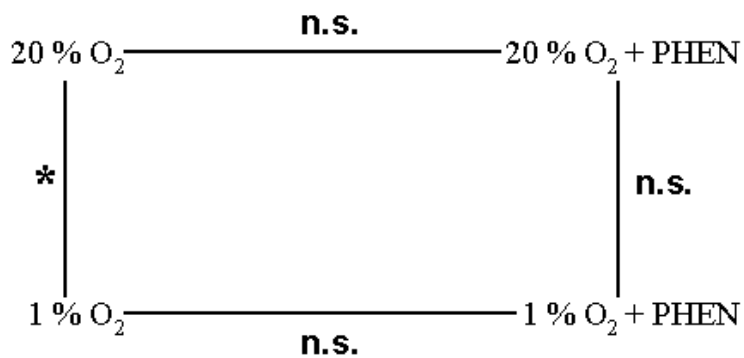
**Abb. 19b:** Minimum-, Maximum- und Medianwerte sowie die Perzentile 25 und 75 der Grauwert-kodierten intrazellulären Rhodamin 123-Fluoreszenzintensität eines anderen als in Abb. 18a dargestellten Versuchstages bei Kontrollzellen und PHEN-inkubierten Zellen nach einstündiger Normoxie (20 % O<sub>2</sub>, n=80) und Hypoxie (1 % O<sub>2</sub>, n=80). \* kennzeichnet Unterschiede mit p<0,05; n.s. kennzeichnet Unterschiede mit >0,05.



**Abb. 20:** Grauwert-kodierte intrazelluläre Rhodamin 123-Fluoreszenzintensität nach einstündiger Normoxie (20 % O<sub>2</sub>, n=80) und Hypoxie (1 % O<sub>2</sub>, n=80) und PHEN-Zugabe. Jeder Punkt gibt den ermittelten Medianwert eines Versuchstages wieder; n.s. kennzeichnet Unterschiede mit p>0,05.

20 % O <sub>2</sub>	1 % O <sub>2</sub>	20 % O <sub>2</sub> + PHEN	1 % O <sub>2</sub> + PHEN
88	147	153	205
55	125	56	135
54	109	51	94
146	181	116	164
38	224	124	98

**Tabelle 6:** Medianwerte der Grauwert-kodierten intrazellulären Rhodamin 123-Fluoreszenzintensität nach einstündiger Normoxie (20 % O<sub>2</sub>) und Hypoxie (1 % O<sub>2</sub>) in Kontrollen und nach PHEN-Zugabe.



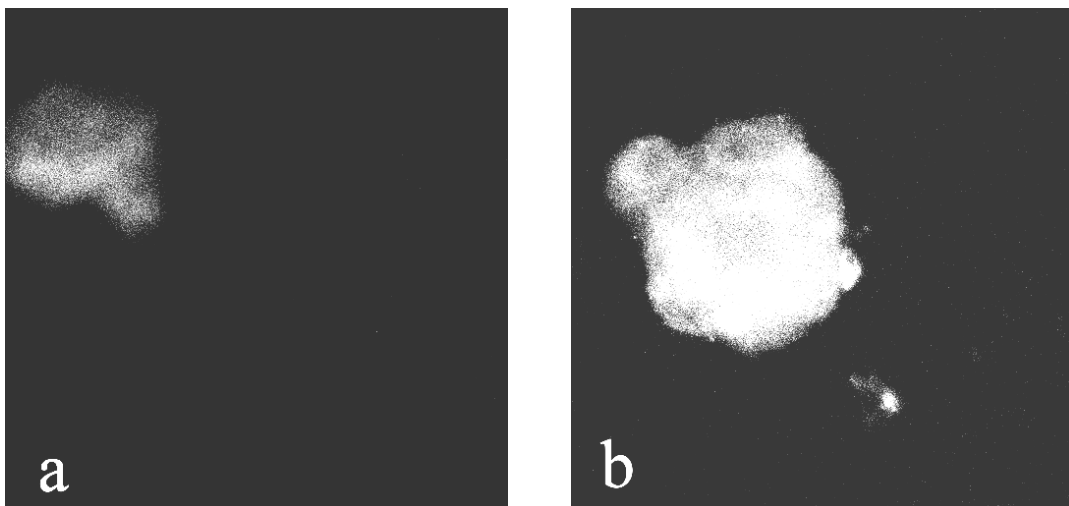
**Abb. 21:** Statistisch gesicherte Signifikanzen der Unterschiede in der intrazellulären Rhodamin 123-Fluoreszenzintensität nach einstündiger Normoxie (20 % O<sub>2</sub>, n=80) und Hypoxie (1 % O<sub>2</sub>, n=80) in Kontrollen und nach PHEN-Zugabe. \* kennzeichnet Unterschiede mit p < 0,05; n.s. kennzeichnet Unterschiede mit p > 0,05.



### 3.6 Normoxie-/Hypoxieversuche nach L-NMMA-Exposition bei PC12-Zellen

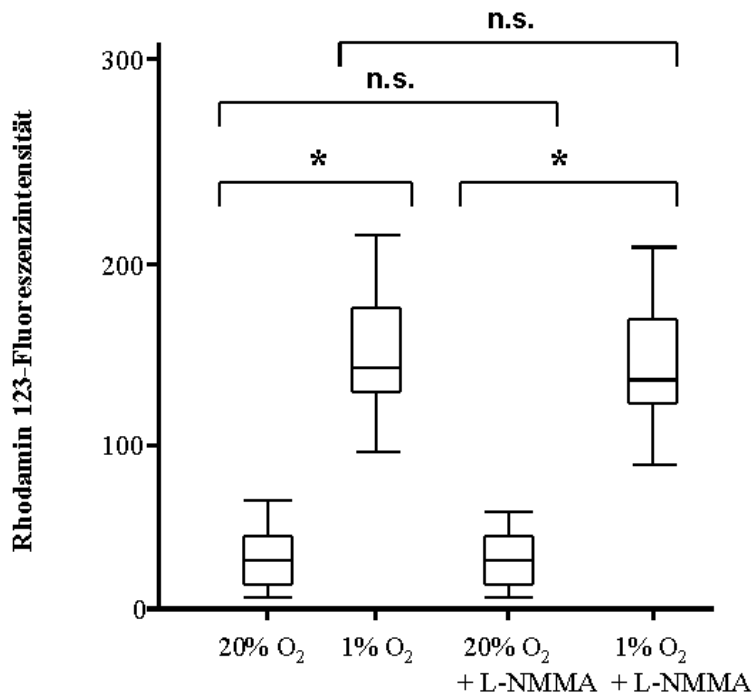
Um den Einfluss von L-NMMA auf die Fluoreszenzintensität zu überprüfen, wurden PC12-Zellen für eine Stunde unter hypoxischen (1 % O<sub>2</sub>) und normoxischen (20 % O<sub>2</sub>) Bedingungen in Gegenwart von L-NMMA (200 µM) inkubiert. Auch unter Zugabe von L-NMMA kam es bei PC12-Zellen zu einer signifikanten Hypoxie-bedingten Zunahme der Rhodamin 123-Fluoreszenzintensität (Abb. 22, 23 und 24).

Die Messergebnisse von L-NMMA-behandelten Zellen und Kontrollen wiesen sowohl nach Inkubation unter Hypoxie als auch unter Normoxie keinen signifikanten Unterschied auf (Abb. 23, 25 und Tabelle 7).

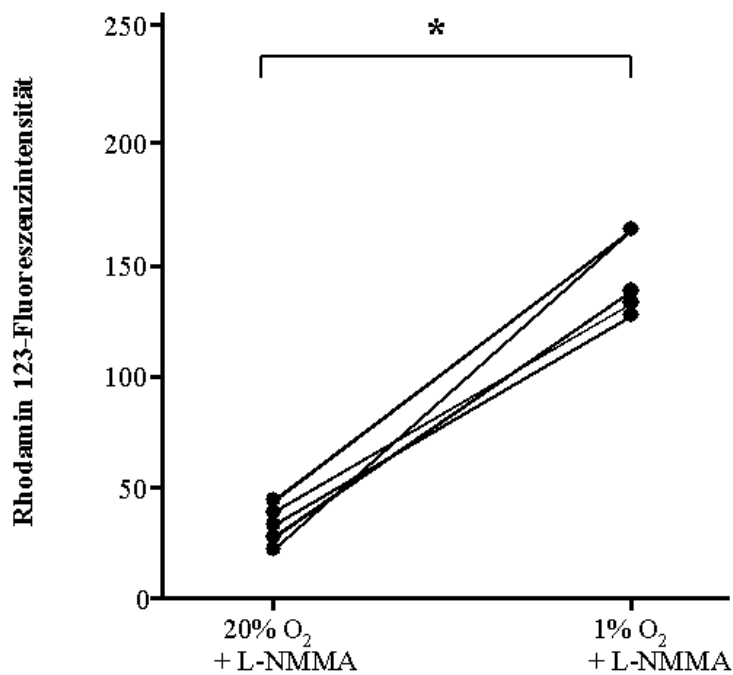


**Abb. 22a:** LSM-Darstellung der PC12-Zellen nach einstündiger Normoxie (20 % O<sub>2</sub>) und L-NMMA-Zugabe.

**Abb. 22b:** LSM-Darstellung der PC12-Zellen nach einstündiger Hypoxie (1 % O<sub>2</sub>) und L-NMMA-Zugabe.



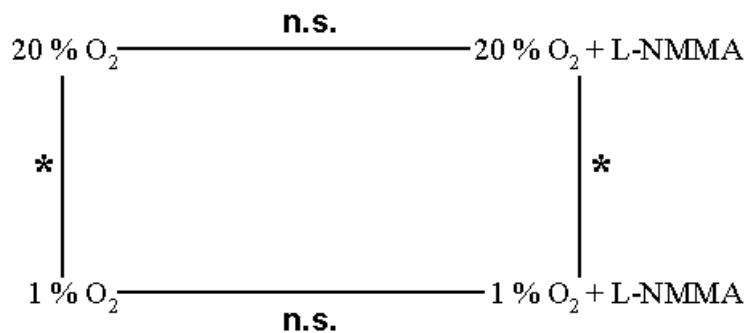
**Abb. 23:** Minimum-, Maximum- und Medianwerte sowie die Perzentile 25 und 75 der Grauwert-kodierten intrazellulären Rhodamin 123-Fluoreszenzintensität eines Versuchstages bei Kontrollzellen und L-NMMA-inkubierten Zellen nach einstündiger Normoxie (20 % O<sub>2</sub>, n=80) und Hypoxie (1 % O<sub>2</sub>, n=80). \* kennzeichnet Unterschiede mit p<0,05.



**Abb. 24:** Grauwert-kodierte intrazelluläre Rhodamin 123-Fluoreszenzintensität nach einstündiger Normoxie (20 % O<sub>2</sub>, n=80) und Hypoxie (1 % O<sub>2</sub>, n=80) unter L-NMMA-Zugabe. Jeder Punkt gibt den ermittelten Medianwert eines Versuchstages wieder. \* kennzeichnet Unterschiede mit p<0,05.

20 % O <sub>2</sub>	1 % O <sub>2</sub>	20 % O <sub>2</sub> + L-NMMA	1 % O <sub>2</sub> + L-NMMA
35	131	37	120
53	140	49	157
45	128	44	131
25	166	20	160
32	146	27	140

**Tabelle 7:** Medianwerte der Grauwert-kodierten intrazellulären Rhodamin 123-Fluoreszenzintensität nach einstündiger Normoxie (20 % O<sub>2</sub>, n=80) und Hypoxie (1 % O<sub>2</sub>, n=80) in Kontrollen und nach L-NMMA-Zugabe.

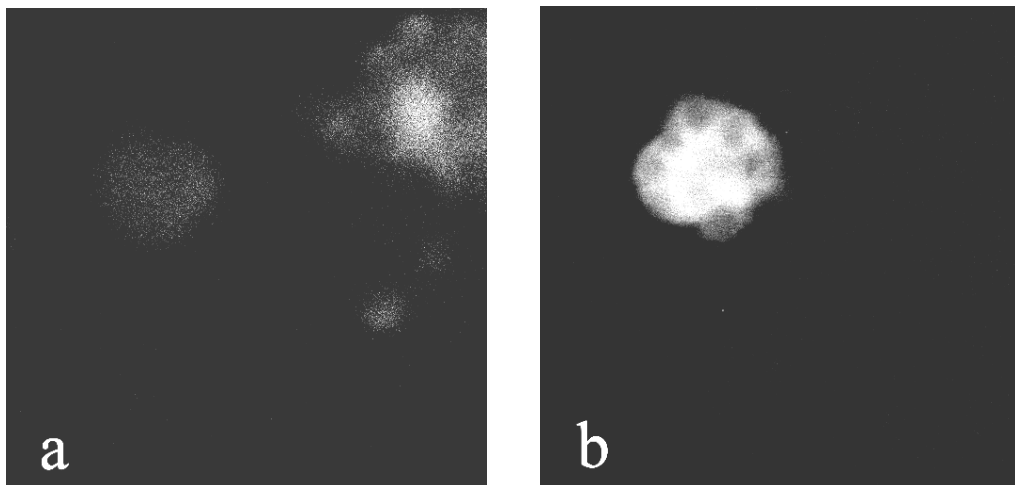


**Abb. 25:** Statistisch gesicherte Signifikanzen der Unterschiede in der intrazellulären Rhodamin 123-Fluoreszenzintensität nach einstündiger Normoxie (20 % O<sub>2</sub>, n=80) und Hypoxie (1 % O<sub>2</sub>, n=80) in Kontrollen und nach L-NMMA-Zugabe. \* kennzeichnet Unterschiede mit p<0,05; n.s. kennzeichnet Unterschiede mit p>0,05.

### 3.7 Normoxie-/Hypoxieversuche nach CYS-Exposition bei PC12-Zellen

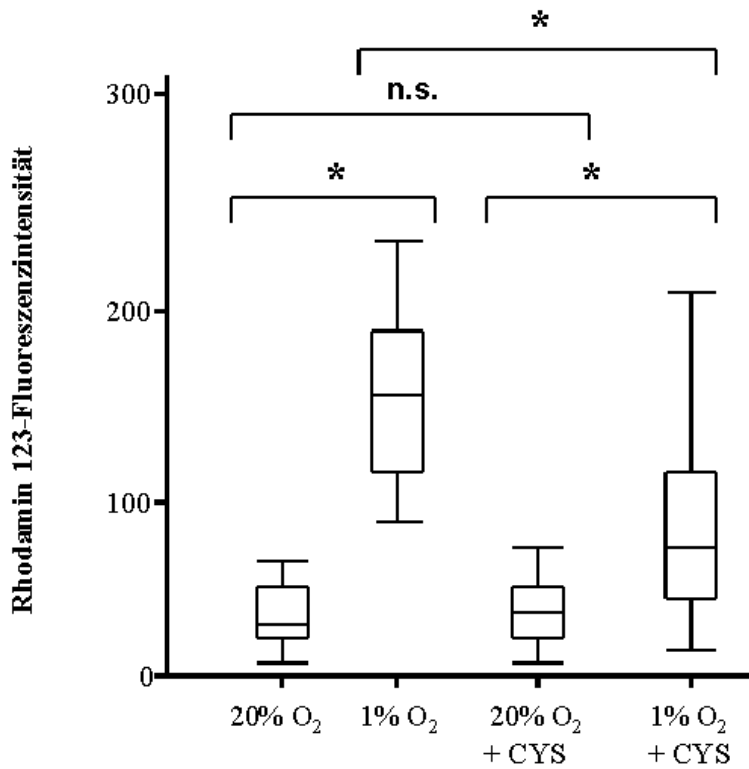
Um den Einfluss von CYS auf die Fluoreszenzintensität zu überprüfen, wurden PC12-Zellen für eine Stunde unter hypoxischen (1 % O<sub>2</sub>) und normoxischen (20 % O<sub>2</sub>) Bedingungen in Gegenwart von CYS (9,6 mM) inkubiert. Bei CYS-Zugabe kam es bei PC12-Zellen ebenfalls zu einer signifikanten Hypoxie-bedingten Zunahme der Rhodamin 123-Fluoreszenzintensität (Abb. 26, 27 und 28).

Die Messergebnisse von CYS-behandelten Zellen und Kontrollen wiesen nach Inkubation unter Normoxie keinen signifikanten Unterschied auf. Unter hypoxischen Bedingungen war der Unterschied jedoch signifikant (Abb. 27 und Tabelle 8, Abb. 29). Der Hypoxie-bedingte Fluoreszenzanstieg war in CYS-behandelten Zellen geringer als in Kontrollen (Abb. 27 und Tabelle 8).

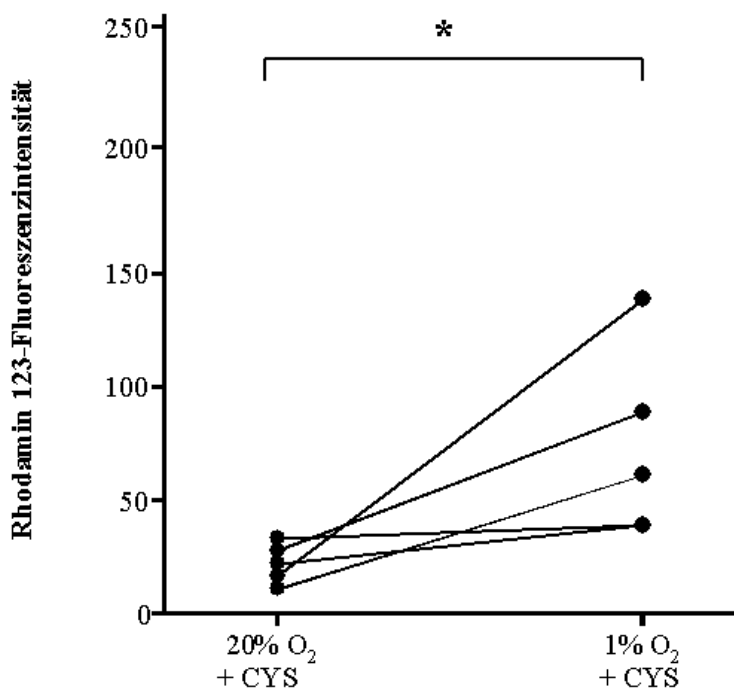


**Abb. 26a:** LSM-Darstellung der PC12-Zellen nach einstündiger Normoxie (20 % O<sub>2</sub>) und CYS-Zugabe.

**Abb. 26b:** LSM-Darstellung der PC12-Zellen nach einstündiger Hypoxie (1 % O<sub>2</sub>) und CYS-Zugabe.



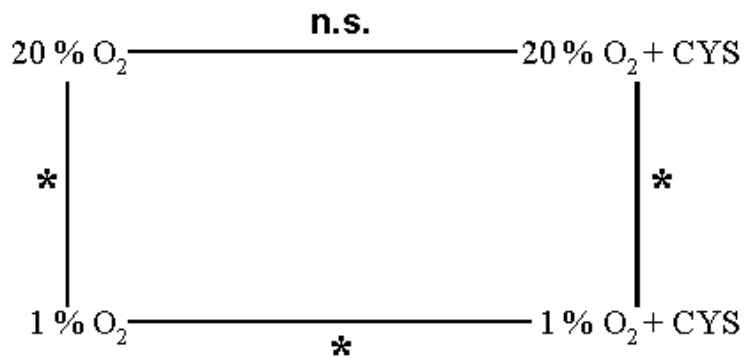
**Abb. 27:** Minimum-, Maximum- und Medianwerte sowie die Perzentile 25 und 75 der Grauwert-kodierten intrazellulären Rhodamin 123-Fluoreszenzintensität eines Versuchstages bei Kontrollzellen und CYS-inkubierten Zellen nach einstündiger Normoxie (20 % O<sub>2</sub>, n=80) und Hypoxie (1 % O<sub>2</sub>, n=80). \* kennzeichnet Unterschiede mit p<0,05.



**Abb. 28:** Grauwert-kodierte intrazelluläre Rhodamin 123-Fluoreszenzintensität nach einstündiger Normoxie (20 % O<sub>2</sub>, n=80) und Hypoxie (1 % O<sub>2</sub>, n=80) unter CYS-Zugabe. Jeder Punkt gibt den ermittelten Medianwert eines Versuchstages wieder. \* kennzeichnet Unterschiede mit p<0,05.

20 % O <sub>2</sub>	1 % O <sub>2</sub>	20 % O <sub>2</sub> + CYS	1 % O <sub>2</sub> + CYS
24	135	23	40
20	165	27	81
24	197	19	140
25	181	29	40
14	142	16	54

**Tabelle 8:** Medianwerte der Grauwert-kodierten intrazellulären Rhodamin 123-Fluoreszenzintensität nach einstündiger Normoxie (20 % O<sub>2</sub>, n=80) und Hypoxie (1 % O<sub>2</sub>, n=80) in Kontrollen und nach CYS-Zugabe.

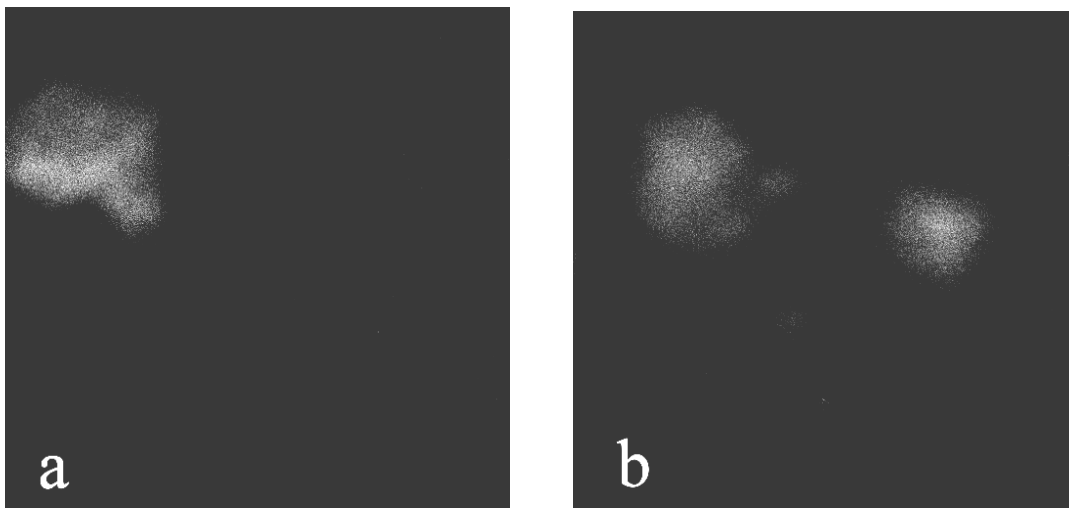


**Abb. 29:** Statistisch gesicherte Signifikanzen der Unterschiede in der intrazellulären Rhodamin 123-Fluoreszenzintensität nach einstündiger Normoxie (20 % O<sub>2</sub>, n=80) und Hypoxie (1 % O<sub>2</sub>, n=80) in Kontrollen und nach CYS-Zugabe. \* kennzeichnet Unterschiede mit p<0,05.

### 3.8 Normoxie-/Hypoxieversuche nach NBT-Exposition bei PC12-Zellen

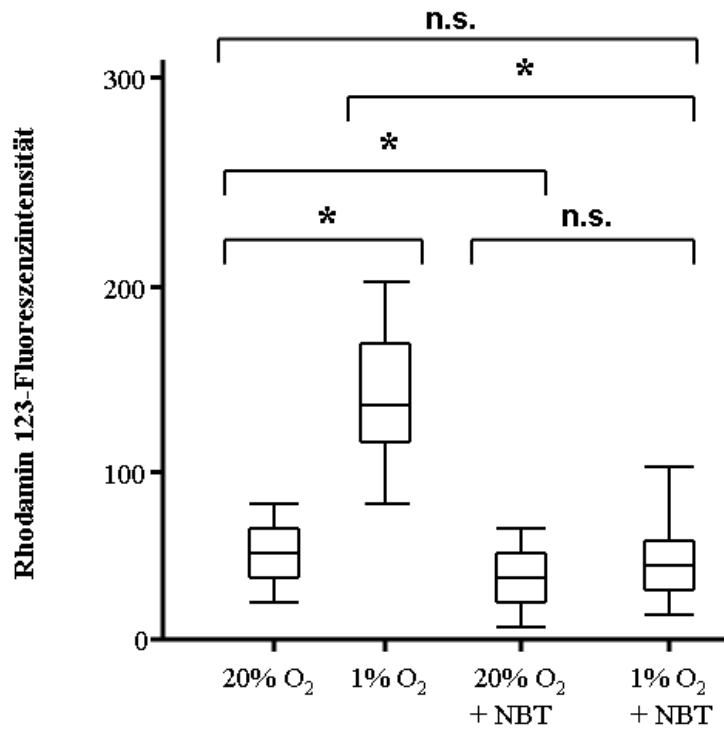
Um den Einfluss von NBT auf die Fluoreszenzintensität zu überprüfen, wurden PC12-Zellen für eine Stunde unter hypoxischen (1 % O<sub>2</sub>) und normoxischen (20 % O<sub>2</sub>) Bedingungen in Gegenwart von NBT (1 µM) inkubiert. Nach NBT-Zugabe kam es bei PC12-Zellen zu keiner signifikanten Hypoxie-bedingten Zunahme der Rhodamin 123-Fluoreszenzintensität (Abb. 30, 31 und 32).

Die Messergebnisse von NBT-behandelten Zellen und Kontrollen wiesen nach Inkubation unter Normoxie einen signifikanten Unterschied auf. Auch unter Hypoxie war der Unterschied signifikant. Die Fluoreszenzintensität von NBT-behandelten Zellen war jeweils geringer (Abb. 31, 33 und Tabelle 9).

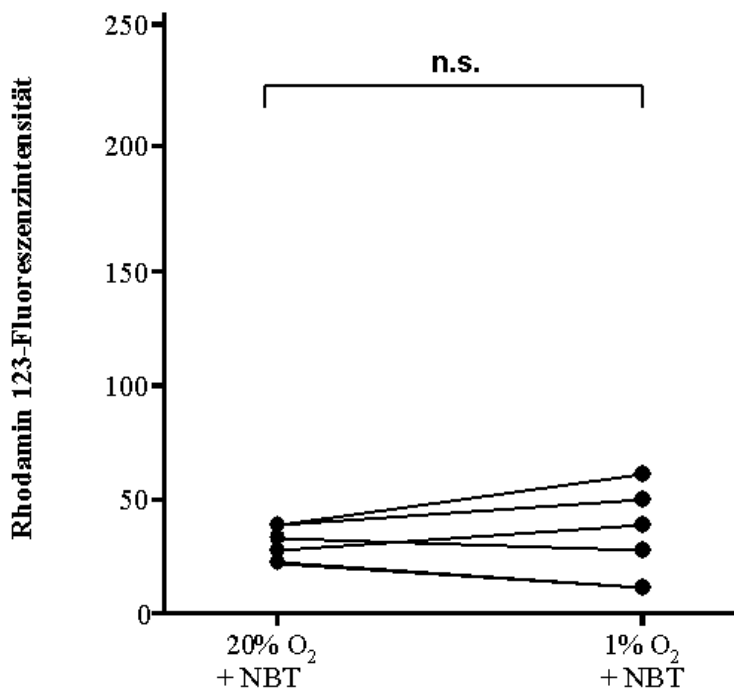


**Abb. 30a:** LSM-Darstellung der PC12-Zellen nach einstündiger Normoxie (20 % O<sub>2</sub>) und NBT-Zugabe.

**Abb. 30b:** LSM-Darstellung der PC12-Zellen nach einstündiger Hypoxie (1 % O<sub>2</sub>) und NBT-Zugabe.



**Abb. 31:** Minimum-, Maximum- und Medianwerte sowie die Perzentile 25 und 75 der Grauwert-kodierten intrazellulären Rhodamin 123-Fluoreszenzintensität eines Versuchstages bei Kontrollzellen und NBT-inkubierten Zellen nach einstündiger Normoxie (20 % O<sub>2</sub>, n=80) und Hypoxie (1 % O<sub>2</sub>, n=80). \* kennzeichnet Unterschiede mit p<0,05; n.s. kennzeichnet Unterschiede mit p>0,05.

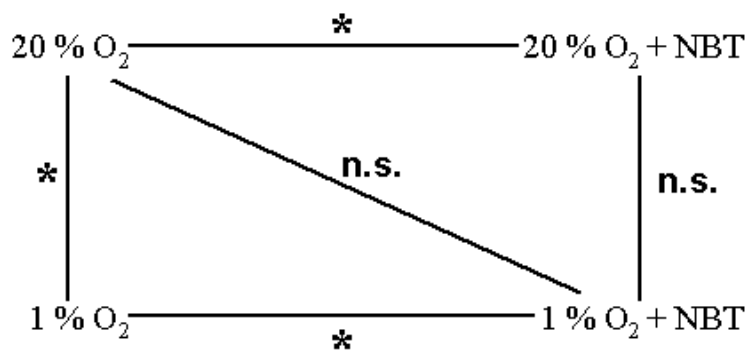




**Abb. 32:** Grauwert-kodierte intrazelluläre Rhodamin 123-Fluoreszenzintensität nach einstündiger Normoxie (20 % O<sub>2</sub>, n=80) und Hypoxie (1 % O<sub>2</sub>, n=80) und NBT-Zugabe. Jeder Punkt gibt den ermittelten Medianwert eines Versuchstages wieder. n.s. kennzeichnet Unterschiede mit p>0,05.

20 % O <sub>2</sub>	1 % O <sub>2</sub>	20 % O <sub>2</sub> + NBT	1 % O <sub>2</sub> + NBT
52	144	29	36
43	106	42	48
39	138	36	32
48	135	40	57
21	135	17	11

**Tabelle 9:** Medianwerte der Grauwert-kodierten intrazellulären Rhodamin 123-Fluoreszenzintensität nach einstündiger Normoxie (20 % O<sub>2</sub>, n=80) und Hypoxie (1 % O<sub>2</sub>, n=80) in Kontrollen und nach NBT-Zugabe.



**Abb. 33:** Statistisch gesicherte Signifikanzen der Unterschiede in der intrazellulären Rhodamin 123-Fluoreszenzintensität nach einstündiger Normoxie (20 % O<sub>2</sub>, n=80) und Hypoxie (1 % O<sub>2</sub>, n=80) in Kontrollen und nach NBT-Zugabe. \* kennzeichnet Unterschiede mit p<0,05; n.s. kennzeichnet Unterschiede mit p>0,05.

## 4. Diskussion

Das Ziel dieser Studie war es zu ermitteln, welche ROS unter Hypoxie in PC12-Zellen der Ratte gebildet werden. Ebenfalls wurde die Spezifität des Fluoreszenzindikators H<sub>2</sub>R für die ROS-Untersuchung untersucht. Die Fragestellung ergibt sich aus der Tatsache, dass in den bisher durchgeführten Hypoxie-Studien an PC12-Zellen noch keine ROS-Differenzierung vorgenommen wurde.

Für diese Arbeit wurden PC12-Zellen der Ratte benutzt, da sie eine sehr hohe Sensitivität gegenüber O<sub>2</sub>-Schwankungen aufweisen. Die PC12-Zellen wurden in Gegenwart des Redox-sensitiven Fluoreszenzindikators H<sub>2</sub>R unter Normoxie und Hypoxie inkubiert. H<sub>2</sub>R ist in der Lage, die Zellmembran zu penetrieren und signifikante intrazelluläre Konzentrationen zu erreichen. Zudem weist es eine minimale zelluläre Toxizität auf (Royall und Ischiropoulos, 1993). Die Rhodamin 123-Fluoreszenzintensität in den PC12-Zellen wurde am LSM gemessen.

Bei allen Messungen ohne Inhibitor- oder Radikalfängerzusatz konnte ein signifikanter Anstieg der Fluoreszenzintensität unter hypoxischen Bedingungen beobachtet werden. Mehrere Arbeitsgruppen konnten zeigen, dass intrazellulär gebildete ROS das farblose H<sub>2</sub>R zum fluoreszierenden Rhodamin 123 oxidieren (Cathcart et al., 1983; Bass et al., 1983; Rothe et al., 1988; Royall und Ischiropoulos, 1993; Carter et al., 1994; Dugan et al., 1995; Crow, 1997). Höhler et al. (1999) sowie Kummer et al. (2003), die in ihren Versuchen ebenfalls die gleiche Zelllinie verwendeten, konnten einen Anstieg der Hypoxie-induzierten Indikatorfluoreszenzintensität zeigen. Die Arbeitsgruppe von Fandrey et al. (1994) verzeichnete in HepG2-Zellen jedoch eine Abnahme der Hypoxie-induzierten Indikatorfluoreszenzintensität, ebenso zeigte die Arbeitsgruppe von Kroll und Czyzyk-Krzeska (1998) in PC12-Zellen eine Abnahme der Hypoxie-induzierten Fluoreszenzintensität. Nach Semenza (2000) hängen jedoch die widersprüchlichen Ergebnisse bei der Fluoreszenzintensitätsmessung mit den Messverfahren zusammen. Kroll und Czyzyk-Krzeska z.B. haben die Messung erst einige Zeit nach der Inkubation durchgeführt, daher könnte ein Hypoxie-bedingter Fluoreszenz-Anstieg auf Grund der Reoxygenierung vor den Messungen wieder abgenommen haben (Sell, 2001).

In allen 35 Experimenten mit PC12-Zellen wurde mit Hilfe des Fluoreszenzindikators H<sub>2</sub>R ein signifikanter Hypoxie-abhängiger Fluoreszenzintensitätsanstieg festgestellt. Somit zeigt sich eine Wiederholbarkeit der Messungen mit dem Fluoreszenzindikator H<sub>2</sub>R für Versuche in PC12-Zellen unter Hypoxie.

Um die Spezifität des Fluoreszenzindikators H<sub>2</sub>R für ROS zu untersuchen, wurden zur genaueren Differenzierung verschiedene Radikalfänger und Inhibitoren der ROS-Bildung eingesetzt.

ROS entstehen als Nebenprodukte in der mitochondrialen Atmungskette und bei anderen Prozessen, bei denen molekularer Sauerstoff metabolisiert wird. O<sub>2</sub><sup>•-</sup> entstehen durch die Übertragung eines Elektrons auf molekularen Sauerstoff. Diese tragen dann zur Bildung weiterer reaktiver Sauerstoffspezies wie H<sub>2</sub>O<sub>2</sub>, OH<sup>•</sup> oder ONOO<sup>•</sup> bei. Dabei ist H<sub>2</sub>O<sub>2</sub> an sich ein wenig reaktives, ungeladenes Molekül, das Membranbarrieren durchqueren und in den Zellkern diffundieren kann. H<sub>2</sub>O<sub>2</sub> reagiert allerdings mit zweiwertigem Eisen in der Fenton-Reaktion zu Hydroxylradikalen und dreiwertigem Eisen ( $\text{Fe}^{2+} + \text{H}_2\text{O}_2 \rightarrow \text{Fe}^{3+} + \text{OH}^{\bullet} + \text{OH}^{\bullet}$ ) (Kamata und Hirata, 1999).

Um herauszufinden, ob extrazelluläres H<sub>2</sub>O<sub>2</sub> bei der ROS-Bildung beteiligt ist, wurde KAT eingesetzt. KAT ist ein Enzym, das in fast allen Geweben von Säugetieren vorkommt und besonders in den Peroxisomen der Leber konzentriert ist (Nordberg und Arner, 2001). KAT degradiert H<sub>2</sub>O<sub>2</sub> durch Umwandlung zu H<sub>2</sub>O und O<sub>2</sub> (Goldhaber et al., 1992). Die Messergebnisse von KAT-behandelten Zellen im Vergleich zu Kontrollen wiesen nach Inkubation unter normoxischen und hypoxischen Konditionen keinen signifikanten Unterschied auf. Die gemessenen Werte bei KAT-behandelten Zellen waren im Vergleich zu den Kontrollen tendenziell geringer, jedoch nicht signifikant.

Die in dieser Arbeit gezeigten nicht signifikanten Werte bei KAT-behandelten Zellen zeigen, dass extrazelluläres H<sub>2</sub>O<sub>2</sub> H<sub>2</sub>R nicht in Rhodamin 123 umwandelt. Eine Erklärung könnte sein, dass KAT nicht ausreichend genug in die Zellen diffundiert und so keine Wirkung zeigt.

Obwohl es durch die Versuche mit KAT in diesem Versuchsaufbau zu keiner H<sub>2</sub>R-Umwandlung gekommen ist, konnten jedoch mehrere Arbeitsgruppen zeigen, dass KAT H<sub>2</sub>O<sub>2</sub>-bedingte Signale reduzieren kann. So konnten Masuda et al. (2007) nachweisen, dass eine H<sub>2</sub>O<sub>2</sub>-induzierte Detrusormehraktivität der Ratte durch KAT aufgehoben werden kann. De Moreno et al. (2008) konnten durch den Einsatz von KAT die H<sub>2</sub>O<sub>2</sub>-abhängige Tumorprogredienz stoppen.

Diese Befunde könnten darauf beruhen, dass durch die extrazelluläre Umwandlung von  $\text{H}_2\text{O}_2$  zu  $\text{H}_2\text{O}$  und  $\text{O}_2$  durch die KAT ein vermehrter Übertritt von intrazellulärem  $\text{H}_2\text{O}_2$  in den Extrazellulärraum provoziert wird und somit auch ein erhöhter intrazellulärer  $\text{H}_2\text{O}_2$ -Verbrauch resultieren kann.

Um die Frage zu klären, ob intrazelluläres  $\text{H}_2\text{O}_2$  bei der Umwandlung von  $\text{H}_2\text{R}$  in Rhodamin 123 eine Rolle spielt, wurde CYS als intrazellulärer  $\text{H}_2\text{O}_2$ -Fänger (Winterbourn et Metodiewa, 1999) eingesetzt. Die Messergebnisse von CYS-behandelten Zellen und Kontrollen wiesen nach Inkubation unter Normoxie keinen signifikanten Unterschied auf, jedoch konnte unter hypoxischen Bedingungen ein signifikanter Unterschied festgestellt werden. Der Hypoxie-bedingte Fluoreszenzanstieg war in CYS-behandelten Zellen geringer als in Kontrollen.

Miller et al. (1991) z.B. konnten ebenfalls einen positiven Effekt von CYS zeigen, der auf seiner Funktion als Fänger intrazellulär gebildeten  $\text{H}_2\text{O}_2$  beruht. Durch den Einsatz von CYS konnten die durch  $\text{H}_2\text{O}_2$  induzierten DNS-Schäden reduziert werden. CYS weist jedoch neben DNS-protektiven auch DNS-schädigende Wirkungen auf (Kanabus-Kaminska et al., 1988).

Der gemessene Effekt im Versuchsaufbau der vorliegenden Arbeit ist zwar gering, aber die Ergebnisse deuten darauf hin, dass intrazellulär gebildetes  $\text{H}_2\text{O}_2$  bei der Konversion von  $\text{H}_2\text{R}$  in Rhodamin 123 mit involviert ist.

PHEN wurde eingesetzt, um zu überprüfen, ob Eisen bei der  $\text{H}_2\text{R}$ -Umwandlung unter Hypoxie eine Rolle spielt. PHEN ist ein Eisenchelator, welcher die Bildung von OH-Radikalen aus  $\text{H}_2\text{O}_2$  verhindert (Van den Hoek et al., 1997). Im Vergleich zu Kontrollen wiesen PHEN-behandelte Zellen nach Inkubation unter normoxischen und hypoxischen Konditionen keinen signifikanten Unterschied in der Rhodamin 123-Fluoreszenzintensität auf. Die Fluoreszenzintensität der PHEN-behandelten Zellen war tendenziell geringer. Lediglich in einem Versuch wiesen PHEN-behandelte Zellen im Vergleich zu den Kontrollen unter Hypoxie eine signifikant geringere Fluoreszenzintensität auf.

Gille et al. (1992) konnten in Ovarialzellen von Hamstern ebenfalls keinen Effekt von PHEN vorweisen. Die von ihnen gemessenen Hypoxie-induzierten Zellschäden konnten durch den Einsatz von PHEN nicht reduziert werden. Auch Flemmig und Arnhold (2007) konnten in ihren Versuchen die Fenton-Reaktion als Quelle für die ROS ausschließen. Zweier et al. (1994) jedoch zeigten in ihren Versuchen, dass durch Einsatz von

Deferoxamin nach Anoxie und Reoxygenation die  $\text{Fe}^{2+}$ -abhängige OH-Radikalbildung reduziert werden kann.

Die Tatsache, dass die Messergebnisse in diesem Versuchsaufbau bis auf einen Versuch keine signifikanten Unterschiede zeigen, deutet darauf hin, dass  $\text{Fe}^{2+}$  über die Fenton-Reaktion nicht zur  $\text{H}_2\text{R}$ -Umwandlung in PC12-Zellen unter Hypoxie beitragen.

Das  $\text{OH}^\cdot$  zählt zu den aggressivsten ROS (Stahl und Sies, 2002). Auf Grund des hohen Reaktionspotentials ist das  $\text{OH}^\cdot$  eines der stärksten Oxidationsmittel und kann mit fast jeder Art von Molekülen reagieren. Als Hauptquelle für die Entstehung von  $\text{OH}^\cdot$  in biologischen Systemen gilt die  $\text{Fe}^{2+}$ -vermittelte Fenton-Reaktion (Meneghini, 1997).

Ein potent diffusionsfähiger, langlebiger Fänger von Hydroxylradikalen ist DMTU (Fox, 1984). Es ist ebenso in der Lage Wasserstoffperoxid abzufangen (Jackson et al., 1985) und den  $[\text{Ca}^{2+}]$ -Anstieg während der hypoxischen Periode signifikant zu dämpfen (Ziegelstein et al., 1992). Um zu überprüfen, ob Hydroxylradikale für die  $\text{H}_2\text{R}$ -Umwandlung notwendig sind, wurden Versuche mit DMTU durchgeführt. Die Messergebnisse von DMTU-behandelten Zellen und Kontrollen wiesen nach Inkubation unter Normoxie keine signifikanten Unterschiede auf. Auch nach Inkubation unter hypoxischen Konditionen war der Unterschied nicht signifikant.

Paller et al. (1998) konnten aber im Gegensatz hierzu durch den Einsatz von DMTU eine signifikante Abnahme der Ischämie-bedingten Nierenfunktion bei Ratten vorweisen. Wong et al. (1985) wiederum zeigten in ihren Versuchen bei Schafen durch Verwendung von DMTU keine Beteiligung von  $\text{OH}^\cdot$  bei der Entstehung von Lungenfunktionsstörungen.

Die Messergebnisse in diesem Versuchsaufbau zeigen, dass eine Beteiligung von  $\text{OH}^\cdot$  an der  $\text{H}_2\text{R}$ -Umwandlung in PC12-Zellen unter Hypoxie nicht vorliegt. Somit bestätigen diese Resultate, die mit PHEN erzielten Ergebnisse, dass die Fenton-Reaktion ( $\text{Fe}^{2+} + \text{H}_2\text{O}_2 \rightarrow \text{Fe}^{3+} + \text{OH}^\cdot + \text{OH}^-$ ) bei der Umwandlung von  $\text{H}_2\text{R}$  in Rhodamin 123 unter Hypoxie nicht beteiligt ist.

$\text{ONOO}^-$  entsteht durch die Reaktion von  $\text{O}_2^-$  mit  $\text{NO}^\cdot$  (Beckmann et al., 1990). In verschiedenen pathologischen Zuständen werden  $\text{O}_2^-$  und  $\text{NO}^\cdot$  produziert, die daraufhin zu  $\text{ONOO}^-$  reagieren.  $\text{ONOO}^-$  konnte in aktivierten Makrophagen (Ischiropoulos et al., 1992), in Endothelzellen (Kooy et al., 1994), bei rheumatoider Arthritis (Kaur et al., 1994) und beim septischen Schock (Wizemann et al., 1994) nachgewiesen werden. Szabo

et al. (1995) konnten in der frühen Phase des endotoxischen Schocks eine Oxidation des  $H_2R$  durch  $ONOO^-$  nachweisen. Interessanter Weise konnten Gagnon et al. (1998) in ihren Versuchen zeigen, dass  $ONOO^-$   $H_2R$  zu Rhodamin 123 oxidiert, während weder  $O_2^{\cdot-}$  oder  $NO^{\cdot}$  zu einer  $H_2R$ -Oxidation führen. Zusätzlich konnten sie durch den Einsatz von NO-Synthasehemmern die  $H_2R$ -Oxidation blocken. Auf Grund dieser Ergebnisse wurde die Schlussfolgerung gezogen, dass nur  $ONOO^-$  für die Oxidation von  $H_2R$  in Frage kommt. Auch Zulueta et al. (1997) konnten  $ONOO^-$  als Ursache für die Oxidation von 2',7'-Dichlorfluorescein ausfindig machen.  $O_2^{\cdot-}$  und  $NO^{\cdot}$  führten in ihren Versuchen ebenfalls nicht zur Oxidation von 2',7'-Dichlorfluorescein.

Um zu überprüfen, in wie weit  $NO^{\cdot}$  oder  $ONOO^-$  in diesem Versuchsaufbau bei der  $H_2R$ -Umwandlung eine Rolle spielen, wurden Versuche mit EBS (Antioxidanz, welches an Peroxynitrit bindet) und L-NMMA (NO-Synthasehemmer) durchgeführt.

EBS ist eine fettlösliche, seleno-organische Verbindung, die eine Reihe von pharmakologischen Wirkungen aufweist, wie z.B. antiinflammatorische und antioxidative. EBS inhibiert die Lipidperoxidation durch eine Glutathionperoxidase ähnliche Wirkung (Müller et al., 1984; Wendel et al., 1984). Es blockiert auch die NO- und TNF- $\alpha$ -Produktion in Kupferzellen der Leber (Shimohashi et al., 2000). Ebenfalls bindet es an Peroxynitrit und hemmt somit dessen Wirkung (Müller et al., 1985; Cotgreave et al., 1987). Die Messergebnisse an EBS-behandelten PC12-Zellen und unbehandelten Kontrollzellen wiesen nach Inkubation unter Normoxie und Hypoxie keine signifikanten Unterschiede auf. Somit ist Peroxynitrit im vorliegenden Versuchsaufbau nicht für die  $H_2R$ -Oxidation verantwortlich.

L-NMMA wurde als NO-Synthasehemmer eingesetzt. Dwyer et al., (1991), Reif et McCreedy (1995) und Arzumanian et al. (2003) konnten in ihren Arbeiten zeigen, dass L-NMMA alle NOS-Formen inhibiert.

$NO^{\cdot}$  wird von NO-Synthasen gebildet (Palmer et al., 1988; Marletta et al., 1988). Neben einer endothelialen NO-Synthase (eNOS) sind noch zwei weitere Isoenzyme bekannt: eine induzierbare NOS (iNOS) und eine neuronale NOS (nNOS). Alle drei Isoformen sind Häm-Proteine (Li et Forstermann, 2000). Die eNOS wird vor allem in Gefäßendothelzellen exprimiert (Morris et al., 1994). Die iNOS kann nach Stimulation in einer Vielzahl von Zellen (z.B. in Gefäßmuskelzellen, Endothelzellen, aber auch in Blutzellen) exprimiert werden (Morris et al., 1994; Nathan, 1992). Die nNOS findet sich vor allem in peripheren und zentralen Neuronen (Thippeswamy et Morris, 2002).

Verschiedene Arbeitsgruppen konnten eine Mitbeteiligung von NO<sup>•</sup> bei Hypoxie-induzierten neurologischen Schäden in der Perinatalperiode zeigen (Cai et al., 1998; Kadhim et al., 2006). So konnte unter Hypoxie im Plexus choroideus eine vermehrte nNOS-Expression festgestellt werden (Lin et al., 1996). Ebenfalls führt Hypoxie zu einer Mehrexpression von iNOS (Melillo et al., 1995). Bolanos et al. (1999) konnten unter Hypoxie eine vermehrte eNOS-Expression zeigen, die zu einer Vasodilatation führte. In dieser Arbeit wiesen die Messergebnisse von L-NMMA-behandelten Zellen und Kontrollen sowohl nach Inkubation unter Hypoxie als auch unter Normoxie keinen signifikanten Unterschied auf. Somit ist auch NO<sup>•</sup> nicht für die H<sub>2</sub>R-Oxidation in PC12-Zellen unter Normoxie und Hypoxie verantwortlich.

O<sub>2</sub><sup>•-</sup> wird durch eine univalente Reduktion aus molekularem Sauerstoff gebildet. Wie zuvor erwähnt, ist diese Reaktion der grundlegende Schritt in der Entstehung von ROS, insofern dass sämtliche reaktiven Zwischenprodukte aus diesem Radikal entstehen können (McIntyre et al., 1999). Ebenfalls assoziiert mit oxidativem Stress, handelt es sich bei O<sub>2</sub><sup>•-</sup> um eine dafür untypische Spezies, da es sowohl als ein Reduktionsmittel, in dem es sein zusätzliches Elektron auf ein anderes Molekül (z.B. NO) überträgt, als auch als Oxidationsmittel, wobei es zu H<sub>2</sub>O<sub>2</sub> reduziert wird, agieren kann (Elstner, 1990). Verschiedene Arbeitsgruppen konnten eine vermehrte O<sub>2</sub><sup>•-</sup>-Bildung unter Hypoxie nachweisen (Terada et al., 1992; Marshall et al., 1996). Das O<sub>2</sub><sup>•-</sup> ist in der Lage Plasmamembranen von verschiedenen Zellen zu penetrieren und kann so in den Extrazellulärraum gelangen (Lynch et Fridovich, 1978). Terada (1996) konnte in seinen Versuchen zeigen, dass Zellschäden durch den Übertritt von O<sub>2</sub><sup>•-</sup> in den Extrazellulärraum vermittelt werden können.

Um herauszufinden, in wie weit intrazelluläres O<sub>2</sub><sup>•-</sup> bei der H<sub>2</sub>R-Oxidation beteiligt ist, wurde NBT eingesetzt. NBT ist ein bekannter intrazellulärer O<sub>2</sub><sup>•-</sup>-Fänger (Rook et al., 1985; Berridge et al., 2005). Es wird durch O<sub>2</sub><sup>•-</sup> zu Diformazan reduziert, welches einen bläulich-schwarzen Niederschlag bildet und lichtmikroskopisch nachgewiesen werden kann (DiGregorio et al., 1987). Die Messungen mit NBT haben einen ausgeprägten Effekt gezeigt. Die Messergebnisse von NBT-behandelten Zellen wiesen im Vergleich zu Kontrollen nach Inkubation unter Normoxie signifikant geringere Werte auf, der Signalunterschied war jedoch sehr gering. Die Fluoreszenzintensität von NBT-behandelten Zellen war nach Inkubation unter Hypoxie im Vergleich zu den Kontrollen ebenfalls signifikant geringer, hier zeigte sich ein grosser Signalunterschied. Auch wenn

die Fluoreszenzintensität von NBT-behandelten Zellen im Vergleich zu Kontrollen unter Normoxie und Hypoxie signifikant geringer war, war immer noch ein geringer Signalanstieg vorhanden. Die Ergebnisse von NBT-behandelten Zellen unter Hypoxie wiesen im Vergleich zu Kontrollen unter Normoxie keine signifikanten Unterschiede auf. Ebenfalls zeigten die Messergebnisse von NBT-behandelten Zellen unter Normoxie im Vergleich zur Hypoxie keine signifikanten Unterschiede (Abb. 31, 33 und Tabelle 9). Somit konnten diese Ergebnisse eindrucksvoll belegen, dass bei PC12-Zellen unter Hypoxie hauptsächlich das  $O_2^{\cdot-}$  für die Umwandlung von  $H_2R$  zu Rhodamin 123 verantwortlich ist.

Zusammengefasst zeigen die Ergebnisse dieser Arbeit, dass es bei PC12-Zellen unter Hypoxie zu einem signifikanten ROS-Anstieg kommt. Das  $H_2R$  eignet sich sehr gut als Fluoreszenzindikator, da bei allen Messungen ohne Inhibitor- oder Radikalfängerzusatz ein signifikanter Anstieg der Fluoreszenzintensität unter hypoxischen Bedingungen beobachtet werden konnte. Schließlich konnte als Hauptbefund dieser Arbeit gezeigt werden, dass bei PC12-Zellen der Ratte unter Hypoxie hauptsächlich das  $O_2^{\cdot-}$  für die Umwandlung von  $H_2R$  zu Rhodamin 123 verantwortlich ist. Eine Mitbeteiligung von intrazellulär gebildetem  $H_2O_2$  bei der Hypoxie-induzierten ROS-Bildung konnten die Versuche mit CYS nachweisen. Extrazelluläres  $H_2O_2$ ,  $Fe^{2+}$ -Ionen,  $OH^{\cdot}$ ,  $ONOO^{\cdot}$  sowie  $NO^{\cdot}$  konnten als Hypoxie-bedingte Quellen der  $H_2R$ -Konversion ausgeschlossen werden.



## 5. Zusammenfassung

Der O<sub>2</sub>-messende Mechanismus chemosensitiver Paraganglien von Säugetieren ist nach wie vor nicht vollständig aufgeklärt. Als Modell für Studien am O<sub>2</sub>-messenden Mechanismus Hypoxie-sensitiver Paraganglien dienten PC12-Zellen, da sie eine sehr hohe Sensitivität gegenüber O<sub>2</sub>-Schwankungen aufweisen. In Versuchen an PC12-Zellen konnte unter Hypoxie ein intrazellulärer Anstieg von ROS beobachtet werden. In den bisherigen Arbeiten wurde bisher jedoch noch nicht untersucht, welche ROS genau gebildet werden.

Ziel der vorliegenden Arbeit war es zu ermitteln, welche ROS unter Hypoxie in PC12-Zellen der Ratte gebildet werden, ebenfalls wurde die Spezifität des Fluoreszenzindikators H<sub>2</sub>R für die ROS-Untersuchung untersucht. Zur genaueren Differenzierung der ROS wurden verschiedene Radikalfänger und Inhibitoren der ROS-Bildung eingesetzt. Die PC12-Zellen wurden in Gegenwart von H<sub>2</sub>R unter Normoxie und Hypoxie inkubiert. Durch intrazellulär gebildete ROS wird die farblose Substanz zu ihrem fluoreszierenden Metaboliten Rhodamin 123 oxidiert. Mittels Laser Scan Mikroskop konnte die Fluoreszenzintensität des Indikators gemessen werden.

In 35 Messungen ohne Inhibitor- oder Radikalfängerzusatz konnte ein signifikanter Anstieg der Fluoreszenzintensität unter hypoxischen Bedingungen beobachtet werden. Um herauszufinden, ob extrazelluläres H<sub>2</sub>O<sub>2</sub> bei der H<sub>2</sub>R-Oxidation beteiligt ist, wurde Katalase eingesetzt. Die Messergebnisse von mit Katalase-behandelten Zellen im Vergleich zu Kontrollen wiesen nach Inkubation unter normoxischen und hypoxischen Konditionen keinen signifikanten Unterschied auf.

Cysteamin wurde als intrazellulärer H<sub>2</sub>O<sub>2</sub>-Fänger eingesetzt. Die Messergebnisse von Cysteamin-behandelten Zellen und Kontrollen wiesen nach Inkubation unter Normoxie keinen signifikanten Unterschied auf, jedoch konnte unter hypoxischen Bedingungen ein signifikant geringerer Fluoreszenzanstieg in Cysteamin-behandelten Zellen im Vergleich zu Kontrollen festgestellt werden.

Phenanthrolin wurde als Eisenchelator eingesetzt. Im Vergleich zu Kontrollen wiesen Phenanthrolin-behandelte Zellen nach Inkubation unter normoxischen und hypoxischen Konditionen keinen signifikanten Unterschied in der Rhodamin 123-Fluoreszenzintensität auf.

Dimethylharnstoff wurde als Hydroxylradikal-Fänger eingesetzt. Auch die Messergebnisse von Dimethylharnstoff-behandelten Zellen und Kontrollen wiesen nach Inkubation unter Normoxie und Hypoxie keine signifikanten Unterschiede auf.

Um zu überprüfen, in wie weit  $\text{NO}^\bullet$  oder  $\text{ONOO}^-$  in diesem Versuchsaufbau bei der  $\text{H}_2\text{R}$ -Umwandlung eine Rolle spielen, wurden Versuche mit Ebselen (Antioxidanz, welches an Peroxynitrit bindet) und N-G-Monomethyl-L-Arginin (L-NMMA, NO-Synthasehemmer) durchgeführt. Sowohl die Messergebnisse an Ebselen-behandelten PC12-Zellen als auch die an L-NMMA-behandelten Zellen wiesen nach Inkubation unter Normoxie und Hypoxie im Vergleich zu unbehandelten Kontrollzellen ebenfalls keine signifikanten Unterschiede auf.

Nitroblautetrazolium (NBT) wurde schließlich als intrazellulärer  $\text{O}_2^{\bullet-}$ -Fänger eingesetzt. Die Messergebnisse von NBT-behandelten Zellen wiesen im Vergleich zu Kontrollen nach Inkubation unter Normoxie und Hypoxie signifikant geringere Werte auf. In NBT-behandelten Zellen führte Hypoxie nicht mehr zu einem signifikanten Anstieg der Indikatorfluoreszenz.

Zusammengefasst zeigen die Ergebnisse dieser Arbeit, dass es bei PC12-Zellen unter Hypoxie zu einem signifikanten ROS-Anstieg kommt. Das  $\text{H}_2\text{R}$  eignet sich sehr gut als Fluoreszenzindikator, da bei allen Messungen ohne Inhibitor- oder Radikalfängerzusatz ein signifikanter Anstieg der Fluoreszenzintensität unter hypoxischen Bedingungen beobachtet werden konnte. Schließlich konnte als Hauptbefund dieser Arbeit gezeigt werden, dass bei PC12-Zellen der Ratte unter Hypoxie hauptsächlich das  $\text{O}_2^{\bullet-}$  für die Umwandlung von  $\text{H}_2\text{R}$  zu Rhodamin 123 verantwortlich ist. Eine Mitbeteiligung von intrazellulär gebildetem  $\text{H}_2\text{O}_2$  bei der Hypoxie-induzierten ROS-Bildung konnten die Versuche mit Cysteamin zeigen. Extrazelluläres  $\text{H}_2\text{O}_2$ ,  $\text{Fe}^{2+}$ -Ionen,  $\text{OH}^\bullet$ ,  $\text{ONOO}^-$  sowie  $\text{NO}^\bullet$  konnten als Hypoxie-bedingte Quellen der  $\text{H}_2\text{R}$ -Konversion ausgeschlossen werden.

## 6. Summary

The O<sub>2</sub>-sensor mechanism of mammalian chemosensitive paraganglia is still not fully understood. A tumour cell line (PC12-cells) derived from the rat adrenal medulla is highly sensitive to changes in pO<sub>2</sub> and, therefore often utilized to serve as model to investigate this O<sub>2</sub>-sensor mechanism. In PC12-cells, an intracellular increase of reactive oxygen species (ROS) has been observed during hypoxia, but it is still unknown, which specific ROS is produced.

The aim of the present study was to investigate which particular ROS are produced during hypoxia in rat PC12-cells. In addition, the specificity of the redox-sensitive indicator dihydrorhodamine 123 (H<sub>2</sub>R) for the detection of ROS was investigated. PC12-cells were exposed to H<sub>2</sub>R during normoxia and hypoxia. This non-fluorescent dye is oxidized by intracellular ROS to its fluorescent metabolite rhodamine 123. Fluorescence was measured by laser scanning microscopy. Several radical-scavengers and inhibitors of ROS-generation were used for ROS-differentiation.

Catalase was used to determine the involvement of extracellular H<sub>2</sub>O<sub>2</sub> in H<sub>2</sub>R-oxidation. Cysteamine served as an intracellular H<sub>2</sub>O<sub>2</sub>-scavenger. 1,10-Phenanthroline was utilized as an iron-metal chelator, which blocks the hydroxyl radical generation. Dimethylthiourea was used as a scavenger of hydroxyl radicals. Ebselen is a scavenger of peroxynitrite. The NOS inhibitor NG-monomethyl-L-arginine acetate (L-NMMA) was used to inhibit NO-production. Nitro blue tetrazolium (NBT) is a scavenger of superoxide anions.

In all 35 experiments without inhibitor or scavenger additives, a significantly increased fluorescence intensity was observed when PC12-cells were exposed to hypoxia. Treatment of PC12-cells with catalase, 1,10-Phenanthroline, dimethylthiourea, ebselen and L-NMMA had no significant impact upon normoxic and hypoxic H<sub>2</sub>R-oxidation. The results obtained from PC12-cells after incubation with cysteamine showed slight reduction in the hypoxia-induced increase in fluorescence indicator intensity whereas normoxic fluorescence intensity remained unaffected. In contrast NBT caused a significant reduction in fluorescence intensity during hypoxia and normoxia, and fully prevented a hypoxia-induced increase in fluorescence.

In conclusion, the results of the present investigation show a hypoxia-induced increase of ROS in PC12-cells. H<sub>2</sub>R serves as an adequate indicator to monitor this increase. Superoxide is the dominant ROS being responsible for the oxidation of H<sub>2</sub>R in PC12-cells under hypoxia, and intracellular H<sub>2</sub>O<sub>2</sub> is additionally involved.

## 7. Literaturverzeichnis

Acker H (1993), Mechanisms and meaning of cellular oxygen sensing in the organism. *Respir Physiol* 95: 1-10

Acker H (1994), Mechanisms and meaning of cellular oxygen sensing in the organism. *Respir Physiol* 95: 1-10

Acker T & Acker H (2004), Cellular oxygen sensing need in CNS function: physiological and pathological implications. *J Exp Biol* 207: 3171-3188

Acker H, Bölling B, Delpiano MA, Dufau E, Görlach A & Holtermann G (1992), The meaning of H<sub>2</sub>O<sub>2</sub> generation in carotid body cells for pO<sub>2</sub> chemoreception. *J Auton Nerv Syst* 41: 41-51

Acker H und Xue D (1995), Mechanisms of O<sub>2</sub>-sensing in the carotid body in comparison with other O<sub>2</sub>-sensing cells. *News Physiol Sci* 10: 211-216

Arzumanian V, Stankevicius E, Laukeviciene A, Kevelaitis E (2003), Mechanisms of nitric oxide synthesis and action in cells. *Medicina (Kaunas)* 39: 535-541

Babior BM (1999), Confidentiality. *Curr Opin Hematol* 6: 1-2

Banfi B, Clark RA, Steger K, Krause KH (2003), Two novel proteins activate superoxide generation by the NADPH oxidase NOX1. *J Biol Chem* 278: 3510-3513

Bass DA, Parce JAW, Dechatelet LR & Thomas M (1983), Flow cytometric studies of oxidative product formation by neutrophils: A graded response to membrane stimulation. *J Immunol* 130: 1910-1917

Beckman JS, Beckman TW, Chen J, Marshall PA, Fremman BA (1990), Apparent hydroxyl radical production by peroxynitrite: implications for endothelial injury from nitric oxide and superoxide. *Proc Natl Acad Sci USA* 87: 1620-4

Berridge MV, Herst PM and Tan AS (2005), Tetrazolium dyes as tools in cell biology: new insights into their cellular reduction. *Biotechnol Annu Rev* 11: 127–152

Bortz und Lienert (1998), *Kurzgefasste Statistik für die klinische Forschung*

Boveris A & Chance B (1973), The mitochondrial generation of hydrogen peroxide. General properties and effect of hyperbaric oxygen. *Biochem J* 134: 707-716

Buckler KJ (1997), A novel oxygen-sensitive potassium current in rat carotid body type I cells. *J Physiol* 498: 649-662

Buckler KJ (1999), Background leak  $K^+$ -currents and oxygen sensing in the carotid body type I cells. *Respir Physiol* 115: 179-187

Burkitt MJ, Wardman P (2001), Cytochrome C is a potent catalyst of dichlorofluorescein oxidation: implications for the role of reactive oxygen species in apoptosis. *Biochem Biophys Res Commun* 282: 329-33

Cai Z, Hutchins JB, Rhodes PG (1998), Intrauterine hypoxia-ischemia alters nitric oxide synthase expression and activity in fetal and neonatal rat brains. *Brain Res Dev Brain Res* 109: 265-9

Capaldi RA (1982), Arrangement of proteins in the mitochondrial inner membrane. *Biochim Biophys Acta* 694: 291-306

Capaldi RA, Malatesta & Darley-USmar VM (1983), Structure of cytochrome c oxidase. *Biochim Biophys Acta* 726: 135-148

Carter WO, Narayanan PK, Robinson JP (1994), Intracellular hydrogen peroxide and superoxide anion detection in endothelial cells. *J Leukoc Biol* 55: 253-258

Cathcart R, Schwieters E und Ames BN (1983), Detection of picomole levels of hydroperoxides using a fluorescent dichlorofluorescein assay. *Anal Biochem* 134: 111-116

Chance B, Sies H, Boveris A (1979), Hydroperoxide metabolism in mammalian organs. *Physiol Rev* 59: 527-605

Chandel NS, Maltepe E, Goldwasser E, Mathieu CE, Simon MC & Schumacker PT (1998), Mitochondrial reactive oxygen species trigger hypoxia-induced transcription. *Proc Natl Acad Sci USA* 95: 11715-11720

Chandel NS, McClintock DS, Feliciano CE, Wood TM, Melendez JA, Rodriguez AM, Schumacker PT (2000), Reactive oxygen species generated at mitochondrial complex III stabilize hypoxia-inducible factor-1 alpha during hypoxia: a mechanism of O<sub>2</sub> sensing. *J Biol Chem* 275: 25130-8

Chandel NS & Schumacker PT (1999), Cells depleted of mitochondrial DNA (p0) yield insight into physiological mechanisms. *FEBS Lett* 454: 173-176

Chandel NS & Schumacker PT (2000), Cellular oxygen sensing by mitochondria: old questions, new insight. *J Appl Physiol* 88: 1880-1889

Cheng G, Cao Z, Xu X, van Meir EG, & Lambeth JD (2001), Homologs of gp91phox: cloning and tissue expression of NOX3, NOX4 and NOX5. *Gene* 269: 131-140

Cheng G, Lambeth JD (2004), NOXO1, regulation of lipid binding, localization, and activation of Nox1 by the Phox homology (PX) domain. *J Biol Chem*. 279: 4737-4742

Chen Q, Vazquez J, Moghaddas S, Hoppel CL & Lesnfsky EJ (2003), Production of reactive oxygen species by mitochondria. *J Biol Chem* 278: 36027-36031

Cockman ME, Masson N, Mole DR, Jaakkola P, Chang GW, Clifford SC, Maher ER, Pugh CW, Ratcliffe PJ, Maxwell PH (2000), Hypoxia inducible factor-alpha binding and

ubiquitylation by the von Hippel-Lindau tumor suppressor protein. *J Biol Chem* 275: 25733-41

Conforti L, Kobayashi S, Beitner-Johnson D, Conrad PW, Freeman T & Millhorn DE (1999), Regulation of gene expression and secretory functions in oxygen-sensing pheochromocytoma cells. *Respir Physiol* 115: 249-260

Conforti L & Millhorn DE (2000), Regulation of Shaker-type potassium channels by hypoxia. Oxygen-sensitive K<sup>+</sup> channels in PC12 cells. *Adv Exp Med Biol* 475: 265-274

Cotgreave IA, Sandy MS, Berggren M, Modeus P, Smith MT (1987), N-acetyl-cysteine and glutathione-dependent protective effects of PZ-51 (ebselen) against diquat-induced cytotoxicity in isolated hepatocytes. *Biochem Pharmacol* 36: 2899–2904

Cross AR und Jones OTG (1990), Enzymic mechanisms of superoxide production. *Biochim Biophys Acta* 1057: 281-298

Crow JP (1997), Dichlorodihydrofluorescein and dihyrorhodamine 123 are sensitive indicators of peroxynitrite in vitro: implications for intracellular measurement of reactive nitrogen and oxygen species. *Nitric Oxide* 1: 145-157

Czyzyk-Krzeska MF, Bayliss DA, Lawson EE & Millhorn DE (1992), Regulation of tyrosine hydroxylase gene expression in the rat carotid body by hypoxia. *J Neurochem* 58: 1538-1546

Czyzyk-Krzeska MF, Furnari BA, Lawson EE & Millhorn DE (1994), Hypoxia increases rate of transcription and stability of tyrosine hydroxylase mRNA in pheochromocytoma (PC12) cells. *J Biol Chem* 269: 760-764

De Groot H, Littauer A (1988), Reoxygenation injury in isolated hepatocytes: cell death precedes conversion of xanthine dehydrogenase to xanthine oxidase. *Biochem Biophys Res Commun* 155: 278-82



DiGregorio KA, Cilento EV, Lantz RC (1987), Measurement of superoxide release from single pulmonary alveolar macrophages. *Am J Physiol* 252: 677-83

Dikalova A, Clempus R, Lassegue B, Cheng G, McCoy J, Dikalov S, San Martin A, Lyle A, Weber DS, Weiss D, Taylor WR, Schmidt HH, Owens GK, Lambeth JD, Griendling KK (2005), Nox1 overexpression potentiates angiotensin II-induced hypertension and vascular smooth muscle hypertrophy in transgenic mice. *Circulation* 112: 2668-2676

Doege K, Heine S, Jensen I, Jelkmann W, Metzen E (2005), Inhibition of mitochondrial respiration elevates oxygen concentration, but leaves regulation of hypoxia-inducible factor (HIF) intact. *Blood* 106: 2311-7

Dugan LL, Sensi SL, Canzoniero LM, Handran SD, Rothman SM, Lin TS, Goldberg MP, Choi DW (1995), Mitochondrial production of reactive oxygen species in cortical neurons following exposure to N-methyl-D-aspartate. *J Neurosci* 15: 6377-6388

Duranteau J, Chandel NS, Kulisz A, Zuohui S & Schumacker PT (1998), Intracellular signaling by reactive oxygen species during hypoxia in cardiomyocytes. *J Biol Chem* 273: 11619-11624

Dwyer MA, Brecht DS, Snyder SH (1991), Nitric oxide synthase: irreversible inhibition by L-NG-nitroarginine in brain in vitro and in vivo. *Biochem Biophys Res Commun* 176: 1136-1141

Elstner EF (1990), *Der Sauerstoff: Biochemie, Biologie, Medizin*. BI-Wissenschaftsverlag, Mannheim Wien Zürich

Fandrey J, Frede S & Jelkmann W (1994), Role of hydrogen peroxide in hypoxia-induced erythropoietin production. *Biochem* 303: 507-510

Fearon IM, Palmer AC, Balmforth AJ, Ball SG, Varadi G, Peers C (1999), Modulation of recombinant human cardiac L-type Ca<sup>2+</sup> channel  $\alpha_1C$  subunits by redox agents and hypoxia. *J Physiol* 514: 629-637

- Finkel T (1998), Oxygen radicals and signalling. *Curr Opin Cell Biol* 10: 248-253
- Flemmig J, Arnhold J (2007), Ferrous ion-induced strand breaks in the DNA plasmid pBR322 are not mediated by hydrogen peroxide. *Eur Biophys J* 36: 377-84
- Franco-Obregon A, Lopez-Barneo J (1996), Differential oxygen sensitivity of calcium channels in rabbit smooth muscle cells of conduit and resistance pulmonary arteries. *J Physiol* 491: 511-518
- Fox R (1984), Prevention of granulocyte-mediated oxidant lung injury in rats by a hydroxyl radical scavenger, dimethylthiourea. *J Clin Invest* 74: 1456-1464
- Gagnon C, Leblond FA, Filep JG (1998), Peroxynitrite production by human neutrophils, monocytes and lymphocytes challenged with lipopolysaccharide. *FEBS Lett* 431: 107-110
- Geiszt M, Kopp JB, Varnai P und Leto TL (2000), Identification of Renox, an NAD(P)H oxidase in kidney. *PNAS* 97: 8010-8014
- Gavazzi G, Banfi B, Deffert C, Fiette L, Schappi M, Herrmann F, Krause KH (2006), Decreased blood pressure in NOX1-deficient mice. *FEBS Lett* 580: 497-504
- Geiszt M, Lekstrom K, Witta J, Leto TL (2003), Proteins homologous to p47phox and p67phox support superoxide production by NAD(P)H oxidase 1 in colon epithelial cells. *J Biol Chem* 278: 20006-20012
- Gille JJ, van Berkel CG, Joenje H (1992), Effect of iron chelators on the cytotoxic and genotoxic action of hyperoxia in Chinese hamster ovary cells. *Mutat Res* 275: 31-9
- Goldberg MA, Dunning SP, Bunn HF (1988), Regulation of the erythropoietin gene: evidence that the oxygen sensor is a heme protein. *Science* 242: 1412-1415
- Goldhaber JJ, Weiss JN (1992), Oxygen free radicals and cardiac reperfusion abnormalities. *Hypertension* 20: 118-127

Görlach A, Berchner-Pfannschmidt U, Wotzlaw C, Cool RH, Fandrey J, Acker H, Jungermann K & Kietzmann T (2003), Reactive oxygen species modulate HIF-1 mediated PAI-1 expression: involvement of the GTPase Rac1. *Thromb Haemost* 89: 926-935

Görlach A, Holtermann G, Jelkmann W, Hancock, Jones SA, Jones OTG und Acker H (1993), Photometric characteristics of haem proteins in erythropoietin-producing hepatoma cells (HepG2). *Biochem J* 290: 771-776

Greene LA & Tischler AS (1976), Establishment of a noradrenergic clonal line of rat adrenal pheochromocytoma cells which respond to nerve growth factor. *Proc Natl Acad Sci USA* 73: 2424-2428

Guillemin K and M A Krasnow (1997), The hypoxic response: huffing and HIFing. *Cell* 89: 9-12

Hatefi Y (1985), The mitochondrial electron transport and oxidative phosphorylation system. *Ann Rev Biochem* 54: 1015-1069

Hawes EM & Watts JA (1993), Xanthine oxidase/dehydrogenase release following ischemia in isolated rat hearts. *Am J Cardiovasc Pathol* 4: 326-335

Hempel SL, Buettner GR, O'Malley YQ, Wessels DA, Flaherty DM (1999), Dihydrofluorescein diacetate is superior for detecting intracellular oxidants: comparison with 2',7'-dichlorodihydrofluorescein diacetate, 5(and 6)-carboxy-2',7'-dichlorodihydrofluorescein diacetate, and dihydrorhodamine 123. *Free Radic Biol Med* 27: 146-59

Henderson LM, Chappell JB (1993), Dihydrorhodamine 123: a fluorescent probe for superoxide generation? *Eur J Biochem* 217: 973-80

Höhler B, Goldenberg A, Sell A & Kummer W (2000), Mitochondriale Atmungskette und ROS-Produktion in PC12 Zellen. *Ann Anat* 182: 123

Höhler B, Lange B, Holzapfel B, Goldenberg A, Hänze J, Sell A, Tastan H, Möller W & Kummer W (1999), Hypoxic upregulation of tyrosine hydroxylase gene expression is

paralleled, but not induced by increased generation of reactive oxygen species in PC12 cells. *FEBS Lett* 457: 53-56

Ischiropoulos H, Zhu L, Beckman JS (1992), Peroxynitrite formation from macrophage-derived nitric oxide. *Arch Biochem Biophys* 298: 446-51

Ivan M, Kondo K, Yang H, Kim W, Valiando J, Ohh M, Salic A, Asara JM, Lane WS, Kaelin Jr WG (2001), HIF-1alpha targeted for VHL-mediated destruction by prolin hydroxylation: implications for oxygen sensing. *Science* 292: 464-468

Jaakola P, Mole DR, Tian YM, Wilson MI, Gielbert J, Gaskell SJ, von Kriegsheim A, Hebestreit HF, Mukherji M, Schofield CJ, Maxwell PH, Pugh CW, Ratcliffe PJ (2001), Targeting of HIF-1alpha to the von Hippel-Lindau ubiquitylation complex by O<sub>2</sub>-regulated prolyl hydroxylation. *Science* 292: 468-472

Jackson JH, White CW, Parker NB, Ryan JW, Repine JE (1985), Dimethylthiourea consumption reflects H<sub>2</sub>O<sub>2</sub> concentrations and severity of acute lung injury. *J Appl Physiol* 59: 1995-1998

Jones SA, O'Donnel VB, Wood JD, Broughton JP, Hughes EJ & Jones OTG (1996), Expression of phagozyte NADPH oxidase components in human endothelial cells. *Am J Physiol* 271: H1626-1634

Kadhim H, Khalifa M, Deltenre P, Casimir G, Sébire G (2006), Molecular mechanisms of cell death in periventricular leukomalacia. *Neurology* 67: 293-9

Kamata H, Hirata H (1999), Redox regulation of cellular signalling. *Cell Signal Review* 11: 1-14

Kanabus-Kaminska JM, Feeley M, Birnboim HC (1988), Simultaneous protective and damaging effects of cysteamine on intracellular DNA of leukocytes. *Free Radic Biol Med* 4: 141-5

Karnovsky MJ (1994), Cytochemistry and reactive oxygen species: a retrospective. *Biochem* 102: 15-27

Kaur H, Halliwell B (1994), Evidence for nitric oxide-mediated oxidative damage in chronic inflammation. Nitrotyrosine in serum and synovial fluid from rheumatoid patients. *FEBS Lett* 350: 9-12

Kim W and W G Kaelin Jr (2003), The von Hippel-Lindau tumor suppressor protein: new insights into oxygen sensing and cancer. *Curr Opin Genet Dev* 13: 55-60

Kooy NW, Royall JA (1994), Agonist-induced peroxynitrite production from endothelial cells. *Arch Biochem Biophys* 310: 352-9

Kooy NW, Royall JA, Ischiropoulos H, Beckman JS (1994), Peroxynitrite-mediated oxidation of dihydrorhodamine 123. *Free Radic Biol Med* 16: 149-56

Kroll SL & Czyzyk-Krzeska MF (1998), Role of H<sub>2</sub>O<sub>2</sub> and heme-containing O<sub>2</sub> sensors in hypoxic regulation of tyrosine hydroxylase gene expression. *Am J Physiol* 274: C167-C174

Kumar GK, Overholt JL, Bright GR, Hui KY, Lu H, Gratzl M & Prabhakar NR (1998), Release of dopamine and norephidrine by hypoxia from PC-12 cells. *Am J Physiol* 274: C1592-1600

Kummer W (1996) in: *Autonomic-endocrine interactions*. (Unsicker K, Ed.) Harwood Academic Publisher Chur: 315-356

Kummer W & Acker H (1995), Immunohistochemical demonstration of four subunits of neutrophil NAD(P)H oxidase in type I cells of carotid body. *J Appl Physiol* 78: 1904-1909

Kummer W und Acker H (1997), Cytochrome b558 and hydrogen peroxide production in small intensely fluorescent cells of sympathetic ganglia. *Histochem Cell Biol* 107: 151-158

Lagercrantz H (1996), Stress, arousal, and gene activation at birth. *News Physiol Sci* 11: 214-218

Lawrence A, Jones CM, Wardman P, Burkitt MJ (2003), Evidence for the role of a peroxidase compound I-type intermediate in the oxidation of glutathione, NADH, ascorbate, and dichlorofluorescein by cytochrome c/H<sub>2</sub>O<sub>2</sub>. Implications for oxidative stress during apoptosis. *J Biol Chem* 278: 29410-9

Le Bel CP, Ischiropoulos H & Bondy SC (1992), Evaluation of the probe 2',7'-dichlorofluorescein as an indicator of reactive oxygen species formation and oxidative stress. *Chem Res Toxicol* 5: 227-231

Leniger-Follert E, D W Lubbers (1975), Regulation of local tissue pO<sub>2</sub> of the brain cortex at different arterial O<sub>2</sub> pressures. *Pflugers Arch* 359: 81-95

Li H, Förstermann U (2000), Nitric oxide in the pathogenesis of vascular disease. *J Pathol* 190: 244-54 Review

Lin AY, Szmydynger-Chodobska J, Rahman MP, Mayer B, Monfils PR, Johanson CE, Lim YP, Corsetti S, Chodobski A (1996), Immunohistochemical localization of nitric oxide synthase in rat anterior choroidal artery, stromal blood microvessels, and choroid plexus epithelial cells. *Cell Tissue Res* 285: 411-8

Littauer A und de Groot H (1992), Release of reactive oxygen by hepatocytes on reoxygenation: three phases and role of mitochondria. *Am J Physiol* 262: G1015-G1020

Lopez-Barneo J (1996), Oxygen-sensing by ion channels and the regulation of cellular functions. *Trends Neurosci* 19: 435-440

Lopez-Barneo J, Lopez-Lopez JR, Urena J & Gonzalez C (1988), Chemotransduction in the carotid body: K<sup>+</sup>-current modulated by pO<sub>2</sub> in type I chemoreceptor cells. *Science* 241: 580-582

López-Barneo J, Ortega-Sáenz P, Molina A, Franco-Obregón A, Ureña J & Castellano A (1997), Ion channels and heme proteins as oxygen sensors. Oxygen sensing by ion channels. *Kidney Int* 51: 454-461

Lloreta-Trull J & Serrano S (1998), Biology and pathology of the mitochondrion. *Ultrastruct Pathol* 2: 357-367

Lynch RE, Fridovich I (1978), Permeation of the erythrocyte stroma by superoxide radical. *J Biol Chem* 253: 4697-9

Maranchie J K and Zhan Y (2005), Nox4 is critical for hypoxia-inducible factor 2-alpha transcriptional activity in von Hippel-Lindau-deficient renal cell carcinoma. *Cancer Res* 65: 9190-3

Marletta MA, Yoon PS, Iyengar R, Leaf CD, Wishnok JS (1988), Macrophage oxidation of L-arginine to nitrite and nitrate: nitric oxide is an intermediate. *Biochemistry* 27: 8706-11

Marshall C, Mamary AJ, Verhoeven AJ, Marshall BE (1996), Pulmonary artery NADPH-oxidase is activated in hypoxic pulmonary vasoconstriction. *Am J Respir Cell Mol Biol* 15: 633-44

Matsuno K, Yamada H, Iwata K, Jin D, Katsuyama M, Matsuki M, Takai S, Yamanishi K, Miyazaki M, Matsubara H, Yabe-Nishimura C (2005), Nox1 is involved in angiotensin II-mediated hypertension: a study in Nox1-deficient mice. *Circulation* 112: 2677-2685

Maxwell P, Weisner M, Chang GW, Clifford S, Vaux E, Pugh C, Maher E & Ratcliffe P (1999), The tumor suppressor protein VHL targets hypoxia-inducible factors for oxygen-dependent proteolysis. *Nature* 399: 271-275

McIntyre M, Bohr DF, Dominiczak AF (1999), Endothelial function in hypertension: the role of superoxide anion. *Hypertension* 34: 539-545

Melillo G, Musso T, Sica A, Taylor LS, Cox GW, Varesio L (1995), A hypoxia-responsive element mediates a novel pathway of activation of the inducible nitric oxide synthase promoter. *J Exp Med* 182: 1683-93

Meneghini R (1997), Iron homeostasis, oxidative stress, and DNA damage. *Free Radic Biol Med* 23: 783-92 Review

Miller DL, Thomas RM, Frazier ME (1991), Ultrasonic cavitation indirectly induces single strand breaks in DNA of viable cells in vitro by the action of residual hydrogen peroxide. *Ultrasound Med Biol*: 17: 729-35

Morris SM Jr, Billiar TR (1994), New insights into the regulation of inducible nitric oxide synthesis. *Am J Physiol* 266: 829-39

Müller A, Cadenas E, Graf P, Sies H (1984), A novel biologically active selenoorganic compound, I: glutathione peroxidase-like activity in vitro and antioxidant capacity of PZ51 (ebselen). *Biochem Pharmacol* 33: 3235–3239

Müller A, Gabriel H, Sies S (1985), A novel biologically active seleno-organic compound—IV. *Biochem Pharmacol* 34: 1185–1189

Nathan C (1992), Nitric oxide as a secretory product of mammalian cells. *FASEB J* 6: 3051-64 Review

Nordberg J und Arner E (2001), Reactive oxygen species, antioxidants, and the mammalian thioredoxin system. *Free Radic Biol Med* 31: 1287-1312

Paddenberg R, Goldenberg A, Faulhammer P, Braun-Dullaeus RC & Kummer W (2003b), Mitochondrial complex II is essential for hypoxia-induced ROS generation and vasoconstriction in the pulmonary vasculature. *Adv Exp Med Biol* 536: 163-169

Paddenberg R, Ishaq B, Goldenberg A, Faulhammer P, Rose F, Weissmann N, Braun-Dullaeus CB & Kummer W (2003a), Essential role of complex II of the respiratory chain in hypoxia-induced ROS generation in the pulmonary vasculature. *Am J Physiol Lung Cell Mol Physiol* 284: L710-L719



Paller MS, Schnaith EJ, Rosenberg ME (1998), Purinergic receptors mediate cell proliferation and enhanced recovery from renal ischemia by adenosine triphosphate. *J Lab Clin Med* 131: 174-83

Palmer RM, Rees DD, Ashton DS, Moncada S (1988), L-arginine is the physiological precursor for the formation of nitric oxide in endothelium-dependent relaxation. *Biochem Biophys Res Commun* 153: 1251-6

Papa S und Skulachev VP (1997), Reactive oxygen species, mitochondria apoptosis and aging. *Mol cell biochem* 174: 305-319

Possel H, Noack H, Augustin W, Keilhoff G & Wolf G (1997), 2',7'-Dihydrochlorofluorescein diacetate as a fluorescent marker for peroxynitrite formation. *FEBS Lett* 416: 175-178

Reif DW, McCreedy SA (1995), N-nitro-L-arginine and N-monomethyl-L-arginine exhibit a different pattern of inactivation toward the three nitric oxide synthases. *Arch Biochem Biophys* 320: 170-176

Rhee SG (1999), Redox signaling: hydrogen peroxide as intracellular messenger. *Exp Mol Med* 31: 53-59

Rodney E, Shackelford William, Kaufmann K und Ricard S Paules (2000), Oxidative Stress and cell cycle checkpoint function. *Free Radical Biology & Medicine* 28: 1387-1404

Rook GA, Steele J, Umar S, Dockrell HM (1985), A simple method for the solubilisation of reduced NBT, and its use as a colorimetric assay for activation of human macrophages by gamma-interferon. *J Immunol Methods* 82: 161-7

Rothe G, Oser A und Valet G (1988), Dihydrorhodamine 123: a new flow cytometric indicator for respiratory burst activity in neutrophil granulocytes. *Naturwissenschaften* 75: 354-355

Royall JA und Ischiropoulos (1993), Evaluation of 2',7'-dichlorofluorescein and dihydrorhodamine 123 as fluorescent probes for intracellular H<sub>2</sub>O<sub>2</sub> in cultured endothelial cells. Arch Biochem Biophys 302: 348-355

Sawada GA, Raub TJ, Decker DE, Buxser SE (1996), Analytical and numerical techniques for the evaluation of free radical damage in cultured cells using scanning laser microscopy. Cytometry 25: 254-262

Sell A (2001), Differenzierung mitochondrialer und nicht-mitochondrialer Quellen von reaktiven Sauerstoffspezies in PC12-Zellen unter Hypoxie. Thesis: Justus-Liebig-Universität

Semenza GL (1999), Perspectives on oxygen sensing. Cell 98: 281-284

Semenza GL (2000a), HIF-1 and human disease: one highly involved factor. Genes & Development 14: 1983-1991

Semenza GL (2000b), Oxygen-regulated transcription factors and their role in pulmonary disease. Respir Res 1: 159-162

Sharp RE & Chapman SK (1999), Mechanisms for regulating electron transfer in multi-centre redox proteins. Biochim Biophys Acta 1432: 143-158

Shimohashi N, Nakamuta M, Uchimura K, Sugimoto R, Iwamoto H, Enjoji M, Nawata H (2000), Selenoorganic Compound, Ebselen, Inhibits Nitric Oxide and Tumor Necrosis Factor- $\alpha$  Production by the Modulation of Jun-N-terminal Kinase and the NF- $\kappa$ B Signaling Pathway in Rat Kupffer Cells. J Cell Biochem 78: 595-606

Slot JW, Geuze HJ, Freeman BA, Crapo JD (1986), Intracellular localization of the copper-zinc and manganese superoxide dismutases in rat liver parenchymal cells. Lab Invest 55: 363-371

Spicer Z & Millhorn DE (2003), Oxygen sensing in neuroendocrine cells and other cell types: Pheochromocytoma (PC12) cells as an experimental model. *Endocrine Pathol* 14: 277-292

Srinivas V, Zhu X, Salceda S, Nakamura R, Caro J. (1999), Hypoxia-inducible factor 1alpha (HIF-1alpha) is a nonheme iron protein. Implications for oxygen sensing. *J Biol Chem* 274: 1180

Stahl W und Sies H (2002), Introduction: Reactive Oxygen Species. Institut für Stahl Physiologische Chemie I, Heinrich-Heine Universität, Düsseldorf

Szabo C, Salzman AL, Ischiropoulos H (1995), Peroxynitrite-mediated oxidation of dihydrorhodamine 123 occurs in early stages of endotoxic and hemorrhagic shock and ischemia-reperfusion injury. *FEBS Lett* 372: 229-32

Thannickal VJ, und Fanburg BL (2000), Reactive oxygen species in cell signalling. *Am J Physiol Lung Cell Mol Physiol* 279: L1005-L1028

Takeya R, Ueno N, Kami K, Taura M, Kohjima M, Izaki T, Hiroyuki N und Sumimoto H (2003), Novel human homologues of p47phox and p67phox participate in activation of superoxid-producing NADPH-Oxidase. *J Biol Chem* 278: 25234-25246

Täpper K (2005), Rolle der Succinatdehydrogenase im Hypoxie-induzierten Anstieg der Tyrosinhydroxylase- und Adrenomedullin-mRNA sowie in der Hypoxie-induzierten mitochondrialen ROS-Bildung in PC12-Zellen. Thesis: Justus-Liebig-Universität

Taylor und Peers 1998, Hypoxia evokes catecholamine secretion from rat pheochromocytoma PC-12 cells. *Biochem Biophys Res Commun* 248: 13-7

Terada LS (1996), Hypoxia-reoxygenation increases O<sub>2</sub>-efflux which injures endothelial cells by an extracellular mechanism. *Am J Physiol* 270: 945-50

Terada LS, Guidot DM, Leff JA, Willingham IR, Hanley ME, Piermattei D, Repine JE (1992), Hypoxia injures endothelial cells by increasing endogenous xanthine oxidase activity. *Proc Natl Acad Sci USA* 89: 3362-6

Thannickal VJ, und Fanburg BL(2000), Reactive oxygen species in cell signalling. *Am J Physiol Lung Cell Mol Physiol* 279: L1005-L1028

Thippeswamy T, Morris R (2002), The roles of nitric oxide in dorsal root ganglion neurons. *Ann N Y Acad Sci* 962: 103-10 Review

Turrens JF, Alexandre A, Lehninger AL (1985), Ubisemiquinone is the electron donor for superoxide formation by complex III of heart mitochondria. *Arch Biochem Biophys* 237: 408-414

Turrens JF & Boveris A (1980), Generation of superoxide anion by the NADH dehydrogenase of bovine heart mitochondria. *Biochem J* 191: 421-427

Ullrich V und Bachschmid M (2000), Superoxide as a messenger of endothelial function. *Biochem Biophys Res Com* 278: 1-8

Vanden Hoek TL, Shao Z, Li C, Schumacker PT, Becker LB (1997), Mitochondrial electron transport can become a significant source of oxidative injury in cardiomyocytes. *J Mol Cell Cardiol* 29: 2441–2450

Wendel A, Fausel M, Safayhi H, Tiegs G, Otter R (1984), A novel biologically active seleno-organic compound, II: activity of PZ51 in relation to glutathione peroxidase. *Biochem Pharmacol* 33: 3241–3245

Wenger RH (2005), Mitochondria: oxygen sinks rather than sensors? *Med. Hypotheses* 66: 380-3

Winston GW, Moore MN, Kirchin MA, Soverchia C (1996), Production of reactive oxygen species by hemocytes from the marine mussel, *Mytilus edulis*: lysosomal

localization and effect of xenobiotics. *Comp Biochem Physiol C Pharmacol Toxicol Endocrinol* 113: 221-9

Winterbourn CC, Metodiewa CD (1999), Reactivity of biologically important thiol compounds with superoxide and hydrogen peroxide. *Free Radic Biol Med* 27: 322–328

Wizemann TM, Gardner CR, Laskin JD, Quinones S, Durham SK, Goller NL, Ohnishi ST, Laskin DL (1994), Production of nitric oxide and peroxynitrite in the lung during acute endotoxemia. *J Leukoc Biol* 56: 759-68

Wolin MS, Ahmad M, Gupte SA (2005), Oxidant and redox signaling in vascular oxygen sensing mechanisms: basic concepts, current controversies, and potential importance of cytosolic NADPH. *Am J Physiol Lung Cell Mol Physiol* 289: L159-73

Wong C, Fox R, Demling RH (1985), Effect of hydroxyl radical scavenging on endotoxin-induced lung injury. *Surgery* 97: 300-7

Youngson C, Nurse C, Yeager H, Curnutte JT, Vollmer C, Wong V, Cutz E (1997), Immunocytochemical localization on O<sub>2</sub>-sensing protein (NADPH oxidase) in chemoreceptor cells. *Microsc Res Tech* 37: 101-106

Yu F, White SB, Zhao Q, Lee FS (2001), HIF-1 $\alpha$  binding to VHL is regulated by stimulus-sensitive prolin hydroxylation. *PNAS* 98: 9630-9635

Zhu WH, Conforti L, Czyzyk-Krzeska MF & Millhorn DE (1996), Membrane depolarization in PC-12 cells during hypoxia is regulated by an O<sub>2</sub>-sensitive K<sup>+</sup> current. *Am J Physiol* 271: C658-665

Ziegelstein RC, Zweier JL, Mellits ED, Younes A, Lakatta EG, Stern MD, Silverman HS (1992), Dimethylthiourea, an oxygen radical scavenger, protects isolated cardiac myocytes from hypoxic injury by inhibition of Na<sup>(+)</sup>-Ca<sup>2+</sup> exchange and not by its antioxidant effects. *Circ Res* 70: 804-11

Zulueta JJ, Feng-Sheng Y, Hertig IA, Thannickal VJ & Hassoun PM (1995), Release of hydrogen peroxide in response to hypoxia-reoxygenation: role of an NAD(P)H oxidase-like enzyme in endothelial cell plasma membrane. *Am J Respir Cell Mol Biol* 12: 41-49

Zulueta JJ, Sawhney R, Yu FS, Cote CC, Hassoun PM (1997), Intracellular generation of reactive oxygen species in endothelial cells exposed to anoxia-reoxygenation. *Am J Physiol* 272: 897-902

Zweier JL, Broderick R, Kuppusamy P, Thompson-Gorman S, Luty GA (1994), Determination of the mechanism of free radical generation in human aortic endothelial cells exposed to anoxia and reoxygenation. *J Biol Chem* 269: 24156-62

## 8. Danksagung

An dieser Stelle möchte ich mich bei allen herzlich bedanken, die zum Gelingen dieser Dissertation beigetragen haben.

Mein ganz besonderer Dank gilt Herrn Prof. Dr. W. Kummer für die Überlassung des Themas und die intensive Betreuung bei der Anfertigung dieser Arbeit.

Besonders danken möchte ich auch Frau Dr. Brigitte Höhler für die gute Betreuung bei der praktischen Durchführung und dem Schreiben dieser Arbeit sowie Frau Anna Goldenberg für ihre ständige Hilfe bei der Durchführung der Experimente.

Meiner Frau Mürüvvet gebührt der größte Dank, weil sie sehr geduldig war und mich auch bei dieser zweiten Dissertation unterstützt hat.

Ich möchte meinen Eltern Safiye und Hasan Tastan, meinen Geschwistern Hülya und Ilhan sowie meinem Schwager Selim für ihre moralischen Unterstützungen danken.

Danken möchte ich ebenfalls Michael Büttner aus Bern, der sich die Mühe gemacht hat, diese Dissertation zur Korrektur durchzulesen.

## 9. Lebenslauf

### Persönliche Daten

Name: Tastan  
Vorname: Hakan  
Geburtsdatum: 31.08.1975  
Geburtsort: Flensburg  
Familienstand: verheiratet  
Staatsangehörigkeit: deutsch

### Schulbildung

Grundschule: Grundschule Ramsharde Flensburg 1982-1986  
Gymnasium: Altes Gymnasium Flensburg 1986-1995

### Studiengänge

Justus-Liebig-Universität Gießen:

1. Humanmedizin 10/1995–05/2002  
2. Zahnmedizin 04/2002–10/2005

Staatsexamina:

1. Staatsexamen (Humanmedizin) 03/1999  
2. Staatsexamen (Humanmedizin) 03/2001  
3. Staatsexamen (Humanmedizin) 05/2002  
Staatsexamen (Zahnmedizin) 10/2005



## **Wissenschaftliche Tätigkeiten**

Experimentelle

Doktorarbeiten:	1. Institut für Anatomie Gießen	03/1999-03/2001
	2. Institut für Physiologie Gießen	04/2004-05/2005

## **Veröffentlichungen**

„Hypoxic upregulation of tyrosine hydroxylase gene expression is paralleled, but not induced, by increased generation of reactive oxygen species in PC12 cells.”

Höhler B, Lange B, Holzapfel B, Goldenberg A, Hänze J, Sell A, Tastan H, Möller W, Kummer W  
FEBS Lett 1999 Aug 20; 457 (1): 53-6

„Contractile performance of adult ventricular rat cardiomyocytes is not directly jeopardized by NO/cGMP-dependent induction of pro-apoptotic pathways.”

Tastan H, Abdallah Y, Euler G, Piper HM, Schlüter KD  
J Mol Cell Cardiol 2007 Feb; 42 (2): 411-21

## **Promotionen**

Promotion zum „Dr. med.” am 14.12.2006 mit dem Thema: „Einfluß von NO/cGMP-abhängiger Induktion des pro-apoptotischen Signaltransduktionsweges auf das Kontraktionsverhalten ventrikulärer Herzmuskelzellen.”

Note: magna cum laude

## **Aktuelle Tätigkeit**

Seit 01.01.2006 Assistenzarzt am Universitätsklinikum Bern/CH in der Abteilung für Mund-Kiefer-Gesichtschirurgie